

2025



Suivi des dioxines, des métaux lourds et des poussières dans les retombées à proximité d'AUREADE

Campagne du 19 août au 16 septembre 2025



CONDITIONS DE DIFFUSION

Diffusion libre pour une réutilisation ultérieure des données dans les conditions ci-dessous :

- Les données produites par ATMO Grand Est sont accessibles sous licence ouverte
- Sur demande, ATMO Grand Est met à disposition les caractéristiques des techniques de mesures et des méthodes d'exploitation des données mises en œuvre ainsi que les normes d'environnement en vigueur et les guides méthodologiques nationaux.
- ATMO Grand Est peut rediffuser ce document à d'autres destinataires.
- Rapport non rediffusé en cas de modification ultérieure des données.

PERSONNES EN CHARGE DU DOSSIER

Rédaction : Morgane KESSLER, Ingénieure d'Etudes Unité Surveillance et études réglementaires

Relecture : Agnès BERTRAND, Chargée d'Etudes Unité Surveillance et études réglementaires

Approbation : Bérénice JENNESON, Responsable Unité Surveillance et études réglementaires

Référence du modèle de rapport : COM-FE-001_8

Référence du projet : 901044

Référence du rapport : 901044_AUREADE_Rapport_2_24112025

Date de publication : 24/11/2025

ATMO GRAND EST

Espace Européen de l'Entreprise
5 rue de Madrid, 67300 Schiltigheim

Tél : 03 69 24 73 73

Mail : contact@atmo-grandest.eu

SOMMAIRE

INTRODUCTION	4
DESCRIPTIF DE L'ETUDE	5
1. POLLUANTS MESURES	5
a. Les dioxines et furannes	5
b. Les métaux lourds	5
c. Les poussières	6
2. ZONE D'ETUDE	6
a. Emissions des polluants étudiés dans la zone d'étude	6
b. Sites de mesures	6
3. STRATEGIE DE MESURE	8
a. Les mesures dans les retombées atmosphériques totales	8
b. Les paramètres météorologiques	8
c. Stratégie temporelle de prélèvement	10
4. LIMITE DE L'ETUDE	10
RESULTATS DE L'ETUDE.....	10
1. CONDITIONS METEOROLOGIQUES	10
a. Comparaison des données de vent de la station météorologique provisoire d'AUREADE et de la station Météo France de Mourmelon-Grand	10
b. Interprétation des directions et vitesse des vents par rapport aux sites de mesures des retombées	12
c. Précipitations et températures.....	14
2. NIVEAUX DE POLLUTION ET IMPACT POTENTIEL DE L'UVE.....	14
a. Dioxines et furannes.....	14
b. Métaux lourds	19
c. Poussières	28
CONCLUSION.....	28
ANNEXES	30
ANNEXE 1 : IMPACT SUR LA SANTE/L'ENVIRONNEMENT DES POLLUANTS ETUDES	30
ANNEXE 2 : VALEURS DE REFERENCE	33
ANNEXE 3 : EMISSIONS DE L'ANNEE 2023 DE LA COMMUNAUTE DE COMMUNES DE CHALONS-EN-CHAMPAGNE.....	47

ANNEXE 4 : MODELISATION DES EMISSIONS D'AUREADE (2022)	52
ANNEXE 5 : FICHES DE PRELEVEMENT	53
ANNEXE 6 : METHODES DE PRELEVEMENT ET D'ANALYSE.....	62
ANNEXE 7 : RESULTATS DES MESURES DE DIOXINES/FURANNES DETAILLES.....	62

INTRODUCTION

Dans le cadre de la surveillance environnementale de l'UVE (Unité de Valorisation Energétique) AUREADE sur le territoire de la Marne (51), et conformément à l'article 31 de l'arrêté ministériel du 20 septembre 2002, **VEOLIA AUREADE sollicite ATMO Grand Est pour la réalisation de mesures de qualité de l'air depuis 2005.**

Cette étude s'inscrit par ailleurs, dans le cadre de l'axe 1¹ du projet associatif Cap 2030 d'ATMO Grand Est qui souhaite poursuivre l'évaluation de la qualité de l'air à proximité des installations de valorisation énergétique. Elle a pour objectif, à partir des mesures effectuées :

- De déterminer les niveaux de polluants dans l'environnement de l'UVE et de les situer parmi les différents niveaux d'exposition de la littérature ;
- D'évaluer, dans la mesure du possible, l'impact de l'UVE sur les niveaux de polluants en lien avec l'identification des sources potentielles.

Ce rapport présente la synthèse des mesures réalisées au cours de la seconde campagne de mesures de l'année 2025, **effectuée à proximité de l'UVE du 19 août au 16 septembre**, pour les **dioxines/furannes**, les **métaux lourds** et les **poussières** dans les retombées atmosphériques totales.

¹ Affirmer notre rôle de référent technique – Répondre aux besoins d'observation

DESCRIPTIF DE L'ETUDE

1. Polluants mesurés

Les effets sur la santé et l'environnement des polluants mesurés sont en annexe 1. Les concentrations ubiquitaires de référence associées sont en annexe 2.

a. Les dioxines et furannes

Les dioxines regroupent deux grandes familles de composés : les polychlorodibenzoparadioxines (PCDD) et les polychlorodibenzofurannes (PCDF). Ces deux familles appartiennent à la classe des Hydrocarbures Aromatiques Polycycliques Halogénés (HPAH). Il s'agit de composés organo-chlorés, composés de deux cycles aromatiques, d'atomes d'oxygène et de chlore. Ils se forment essentiellement **lors de processus chimiques industriels** (i.e. synthèse de dérivés chlorés) ou de **processus de combustion mal maîtrisés** ou dont l'efficacité n'est pas maximale.

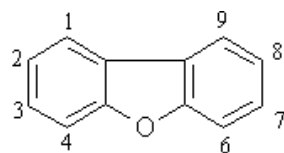
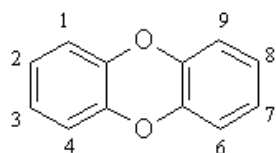


Figure 1 : Formule chimique des PCDD (gauche) et des PCDF (droite)

Les dioxines/furannes sont des composés présentant une **grande stabilité chimique**, qui augmente avec le nombre d'atomes de chlore. Peu volatiles, ils sont dispersés dans l'atmosphère sous la forme de très fines particules pouvant être transportées sur de longues distances par les courants atmosphériques. Peu solubles dans l'eau, ils ont en revanche une grande affinité pour les graisses. De ce fait, ils s'accumulent dans les tissus adipeux des animaux et des humains, notamment le lait. Ils se concentrent ainsi le long de la chaîne alimentaire et peuvent atteindre des concentrations supérieures aux objectifs recommandés pour les humains, les animaux d'élevage et la faune.

Il existe plus de 210 dioxines et furannes, 17 congénères sont reconnus comme particulièrement toxiques, avec une toxicité variable d'un congénère à l'autre. Les résultats des **analyses du mélange de PCDD/PCDF sont généralement exprimés en utilisant le calcul d'une quantité toxique équivalente (I-TEQ : International-Toxic Equivalent Quantity)**.

b. Les métaux lourds

Les métaux lourds sont présents dans tous les compartiments de l'environnement, mais généralement en quantités très faibles. On dit que les métaux sont présents « en traces ». Les métaux lourds comprennent non seulement les métaux présents à l'état de trace (cadmium, cuivre, mercure, plomb, etc.), mais aussi des éléments métalloïdes, comme l'arsenic ou l'antimoine.

Les métaux lourds sont émis lors de la combustion du charbon et du pétrole. Ils sont également issus de l'incinération des ordures ménagères et de certains procédés industriels. Quatre de ces métaux lourds sont concernés par la réglementation en raison de leur toxicité : le plomb, l'arsenic, le cadmium et le nickel. Ces composés se retrouvent principalement sous forme particulaire dans l'atmosphère. Les métaux toxiques proviennent principalement de la combustion des charbons, pétroles, ordures ménagères... et de certains procédés industriels particuliers. Ils se trouvent généralement dans la phase particulaire, à l'exception du mercure, principalement gazeux.

Pour la surveillance de AUREADE, les métaux lourds suivants sont mesurés dans les retombées atmosphériques et dans l'air ambiant : vanadium (V), chrome (Cr), manganèse (Mn), cobalt (Co), nickel (Ni), cuivre (Cu), arsenic (As), cadmium (Cd), antimoine (Sb), plomb (Pb) et mercure (Hg).

c. Les poussières

Les poussières mesurées dans les retombées atmosphériques totales sont plus grosses que les PM10 et PM2,5 mesurées dans l'air ambiant (particules de diamètre inférieur ou égal à 10 et 2,5 µm) : il s'agit de particules de diamètre pouvant aller jusqu'à 1 mm. Ces particules restent ainsi peu dans l'air : elles ne sont pas forcément directement dangereuses pour l'homme (car moins inhalées), mais peuvent représenter un danger pour les écosystèmes et dégrader les matériaux en raison de leur dépôt important.

Elles peuvent être formées par l'érosion des sols, les activités industrielles (notamment les exploitations de carrières, cimenteries, etc.), les embruns marins, les tempêtes de sables du Sahara, etc.

2. Zone d'étude

a. Emissions des polluants étudiés dans la zone d'étude

Les émissions de la communauté de commune de Châlons-en-Champagne, de laquelle fait partie la commune de la Veuve, répertoriées et calculées par l'Observatoire Climat-Air-Energie du Grand Est (animé par ATMO Grand Est), sont présentées en annexe 3 pour les polluants étudiés. Ces émissions sont inventoriées pour l'année 2023 (dernière version de l'Invent'air de 2025).

b. Sites de mesures

Jusqu'à la 1^{ère} campagne de mesures de l'année 2023, la mesure des retombées à proximité d'AUREADE était réalisée sur 7 sites de mesures (stratégie élaborée en 2005 par l'INERIS lors de l'étude « Point Zéro 2005 »). Depuis 2023, 2 points de mesures supplémentaires (9 sites de mesures au total, répertoriés sur le tableau 1 et figure 5) ont été implantés à la demande de VEOLIA AUREADE. Ils permettent de se situer sous le panache principal de l'UVE des retombées de l'usine (nord-nord-est).

- Les sites 1 et 2 sont les plus proches de l'UVE, ils peuvent éventuellement être impactés par celle-ci lorsque les vents sont faibles (lorsque le mode de transport principal des polluants est la diffusion). Le site 1 est notamment le site le plus potentiellement impacté par les retombées atmosphériques émises par l'UVE selon la modélisation. Ces 2 sites sont situés dans la zone industrielle de La Veuve et sont ainsi également possiblement impactés par les émissions d'autres émetteurs industriels ;
- Les sites 1, 8 et 9 sont situés sous les vents majoritaires de la zone d'étude (vents de secteur sud-ouest) et sont donc très susceptibles d'être impactés par les retombées de l'UVE ;
- Les sites 3, 4, 5 et 6 sont des sites témoins, supposés être peu sous les vents de l'usine et représenter le bruit de fond environnemental. Le site 3 a été placé de manière à visualiser un éventuel impact de l'autoroute sur les concentrations et le site 7 celui de la voie ferrée traversant la commune. Le site 4, au cœur de la commune, est le point le plus concentré en habitations du secteur d'étude.

La dernière modélisation de la dispersion des émissions de l'UVE a été réalisée en 2022² (annexe 4).

² UVE AUREADE La Veuve (51) – Mise à jour du plan de surveillance environnemental – Etude de dispersion atmosphérique – Rapport d'étude Réf : 208.0622/ECI, Numtech, août 2022

Site	Nom	Distance au site (km)
1	Devant AUREADE-D280	0,4
2	Chemin derrière AUREADE	0,2
3	Autoroute	0,9
4	La Veuve	1,6
5	Témoin	1,8
6	Champs	2,8
7	SNCF	3,8
8	Cabane	1,5
9	Dépôt	2,3

Tableau 1 : Sites de mesures et distance à l'UVE



Figure 2 : Emplacement des sites de mesures autour de l'UVE AUREADE

Les fiches de prélèvements sont en annexe 5.

3. Stratégie de mesure

a. Les mesures dans les retombées atmosphériques totales

Les retombées atmosphériques totales comprennent :

- Les retombées sèches en l'absence de pluies ;
- Les matières solubles et insolubles contenues dans les eaux de pluies recueillies ;
- Les matières entraînées ou redissoutes dans les eaux pluviales contenues dans le collecteur de pluie.

Le prélèvement des retombées atmosphériques totales est réalisé au moyen de collecteurs de précipitations (en suivant une méthode de prélèvement normalisée). La surface d'exposition des jauge est parfaitement connue, ce qui permet d'évaluer la quantité de dépôts atmosphériques sur une surface donnée.

La durée de prélèvement est relativement longue afin que les concentrations mesurées soient supérieures au seuil de détection analytique : 1 mois/prélèvement. Cette technique nécessite l'installation d'un matériel normalisé. Afin de limiter le développement d'algues ainsi que la photodégradation des analytes, les jauge sont protégées par un film opaque.

Après prélèvement, l'analyse des jauge est effectuée au laboratoire selon les méthodes indiquées en annexe 6.



Figure 3 : Jauge pour le prélèvement des retombées atmosphériques totales

Afin de s'assurer qu'aucune contamination n'a eu lieu lors du prélèvement, du transport et du stockage des échantillons, un blanc terrain a été mis en place pour l'ensemble des paramètres mesurés.

b. Les paramètres météorologiques

Les niveaux en polluants peuvent varier fortement sur une courte durée, ces variations étant, en partie, liées aux phénomènes météorologiques qui contrôlent la dispersion des polluants ou au contraire leur accumulation. Dans le cadre de cette étude, les mesures des vents (vitesse et direction), de la température et des précipitations sont employées pour aider à l'interprétation.

Dans le cadre de cette étude, les mesures des vents sont employées pour aider à l'interprétation. Elles proviennent de la Station Météo France la plus proche de l'établissement : Mourmelon-Grand, située à 7,9 km de l'UVE. Les données sont fournies par Météo France.

Afin d'améliorer l'interprétation des mesures de la qualité de l'air, VEOLIA AUREADE a souhaité mettre en place des mesures des paramètres de vent au plus proche de l'UVE, afin de vérifier la représentativité des données de la station de Mourmelon-Grand.

Ainsi, ATMO Grand Est a pu installer sur le site d'AUREADE, lors de la campagne de mesures, un mât de 8 m de haut équipé de capteurs mesurant la vitesse et la direction du vent (cf figure 3).

Remarques concernant l'impact des paramètres météorologiques sur la répartition des polluants :

- Le **vent** contrôle la dispersion des polluants. Il intervient tant par sa direction pour orienter les panaches de pollution que par sa vitesse pour diluer et entraîner les émissions de polluants. Une absence de vent ou des vents faibles ($< 1,5$ m/s) contribuera à l'accumulation de polluants près des sources et inversement.

A noter que lorsque les polluants sont transportés dans une direction donnée, il est possible que le site le plus impacté ne soit pas forcément le plus proche de la source. Cela dépend de paramètres tels que : la vitesse et la fréquence des vents, les précipitations, les caractéristiques physiques des polluants, etc.

- Lors de **précipitations**, les gouttes de pluies captent les polluants gazeux et particulaires, favorisant le lessivage des masses d'air et une dilution des polluants dans l'air. Pour la collecte des retombées atmosphériques, il est plus difficile d'interpréter les niveaux de précipitations. En effet, des pluies de courte durée peuvent permettre par entraînement une collecte plus importante de particules ; des pluies de longue durée peuvent modifier, voire empêcher le transport des particules vers le collecteur. En conditions sèches, le vent peut entraîner des ré-envols de particules collectées auparavant en absence de pluie depuis le collecteur ou son entonnoir, mais également entraîner le ré-envol des poussières du sol jusqu'à la jauge.
- La **température** agit sur la dispersion et les émissions des polluants : le froid diminue la volatilité de certains gaz, peut favoriser la stagnation des polluants ainsi que l'augmentation des émissions liées au chauffage. Tandis que les fortes températures peuvent favoriser la dispersion des polluants mais également les transformations photochimiques de ces derniers.



Figure 4 : Mât équipé d'une station météorologique installé sur le site d'AUREADE



Figure 5 : Localisation de la station météorologique implantée sur le site d'AUREADE lors de la campagne de mesures

c. Stratégie temporelle de prélèvement

Le programme de surveillance de la qualité de l'air à proximité d'AUREADE consiste en deux campagnes de mesure pour cette année 2025. Pour cette seconde campagne de l'année, les prélèvements ont eu lieu du 19 août au 16 septembre.

4. Limite de l'étude

L'étude est limitée à une investigation concernant l'un des maillons du cycle de la pollution de l'air, celui de la qualité de l'air.

Compte tenu des périodes et de la fréquence des mesures, l'étude permet de qualifier à titre indicatif les niveaux mesurés au regard des valeurs habituellement observées.



RESULTATS DE L'ETUDE

1. Conditions météorologiques

a. Comparaison des données de vent de la station météorologique provisoire d'AUREADE et de la station Météo France de Mourmelon-Grand

L'emplacement de la station météorologique installée provisoirement sur le site d'AUREADE est présenté sur la figure 5 (cf partie Présentation de l'étude, 2.b).

Les roses de vents de la station d'AUREADE ainsi que celle de la station Météo France de Mourmelon-Grand sont présentées sur la figure 6. Également à titre de comparaison, la figure 7 montre la corrélation entre les directions de vent des deux stations et le tableau 2, les différences d'occurrences de vents pour différentes classes de directions de vent.

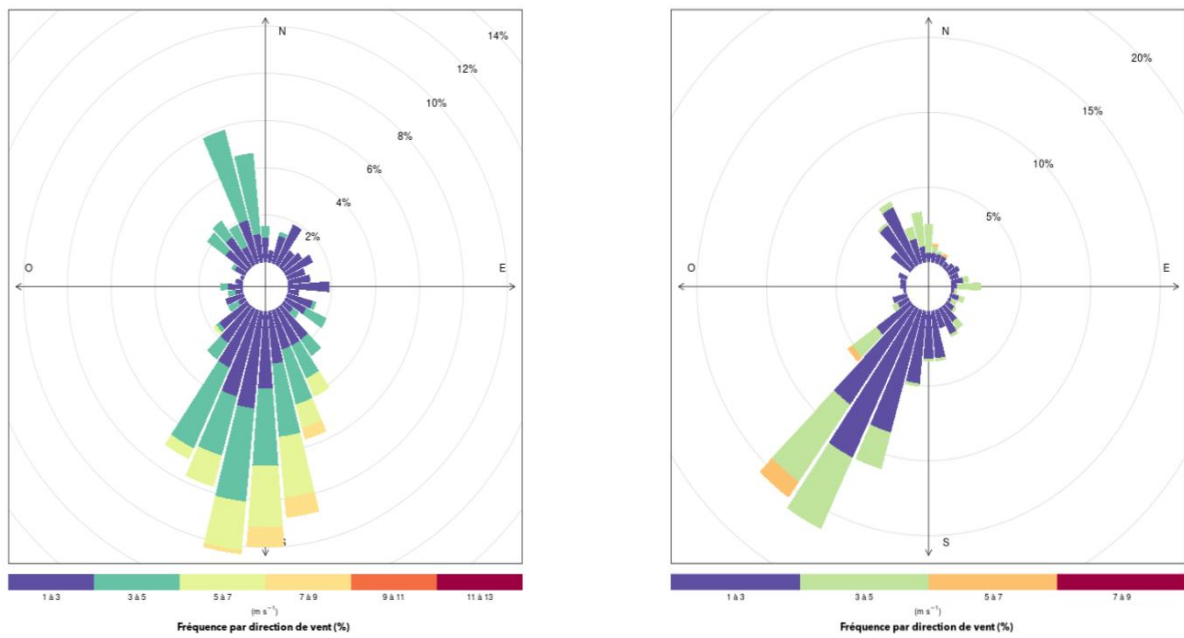


Figure 6 : Rose des vents mesurés avec le mât météorologique provisoire au sein du site d'AUREADE (gauche) et à la station Météo France de Mourmelon-Grand (droite) au cours des mesures des retombées

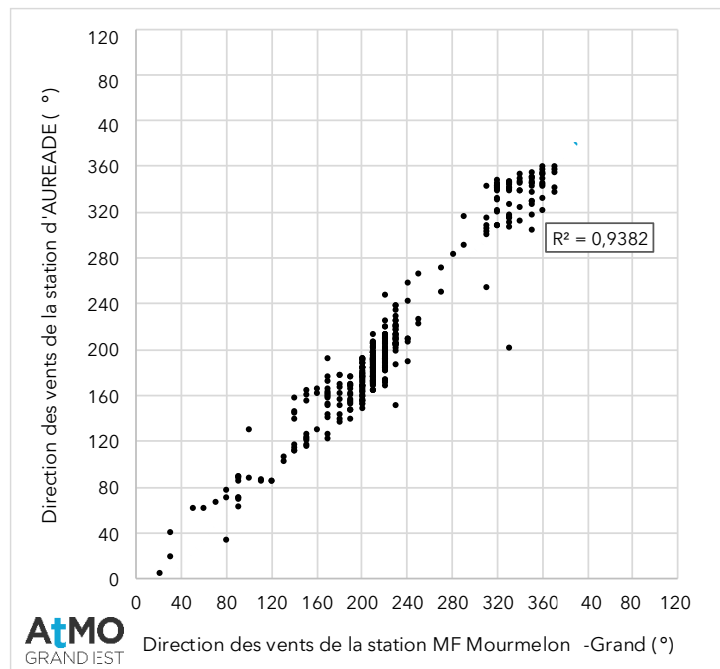


Figure 7 : Corrélation entre les directions de vents de la station Météo France de Mourmelon-Grand et la station d'AUREADE pour les vents supérieurs à 1,5 m/s sur la période de mesures des retombées

Site	Occurrences des vents > 1,5 m/s (%)		Différence d'occurrence de vent (%)
	AUREADE	MF Mourmelon-Grand	
1-30	1,0	1,4	0,4
31-60	1,0	0,9	0,1
61-90	2,7	2,7	0,0
91-120	1,7	1,3	0,4
121-150	4,0	2,7	1,3
151-180	18,2	4,0	14,2
181-210	21,8	19,4	2,4
211-240	5,0	14,1	9,1
241-270	1,9	0,7	1,1
271-300	0,9	0,4	0,4
301-330	4,5	5,9	1,4
331-360	8,0	4,9	3,2

Tableau 2 : Occurrences des vents par classes de directions de vents du mât météorologique provisoire d'AUREADE et de la station Météo France de Mourmelon-Grand pour les vents > 1,5 m/s sur la période de mesures des retombées

Légende de couleur : plus la case du tableau est verte, plus la direction de provenance de vent est majoritaire, plus elle est rouge, plus la direction de vent de provenance de vent est minoritaire.

Vitesse des vents :

La vitesse de vent enregistrée sur le mât provisoire est de 3,0 m/s contre 2,2 m/s sur la station Météo France de Mourmelon-Grand. Cette différence avait déjà été observée en 2024.

Cet écart ne peut se justifier en raison de la différence d'altitude des capteurs. En effet les sites sont situés au même niveau d'altitude (110 m environ), et le mât sur lequel est situé la girouette sur la station Météo France est soit égal soit plus grand que celui d'AUREADE et de la topologie environnante (plus la girouette est proche du sol, plus les frottements de l'air sont forts, moins les vents sont forts). Cependant, il est possible qu'il y ait une différence importante de rugosité entre les deux topologies, et également que le site d'AUREADE soit situé dans des courants de vents plus forts.

Directions des vents :

Dans l'ensemble les directions de vents sont bien corrélées, le coefficient de corrélation R des directions de vents de plus de 1,5 m/s (vents significatifs) entre les deux stations est de 0,97 ($R^2 = 0,94$). Le secteur de vent majoritaire (quart sud-ouest) reste globalement le même sur les deux sites de mesures, même s'il existe un léger décalage entre les deux capteurs. Ce décalage influe notamment sur l'exposition du site 1 à l'usine (avec les données de Météo France, le site 1 est plus sous les vents qu'avec les données du mât provisoire), mais cela change peu l'interprétation : le site 1 reste un des sites les plus impactés par l'usine en raison de sa proximité avec cette dernière et de l'existence de vents faibles sur cette période de mesures.

Quelques autres différences existent dans la fréquence, mais restent secondaires.

Les différences de direction peuvent être dues aux obstacles environnants, tel que le toit qui entoure l'usine d'AUREADE (se situant à une vingtaine de mètres du mât), mais elles peuvent aussi être dues à une réelle différence de directions de vents dans le secteur de La Veuve par rapport à Mourmelon-Grand.

b. Interprétation des directions et vitesse des vents par rapport aux sites de mesures des retombées

Les tableaux suivants présentent les occurrences et vitesses des vents, en provenance de la cheminée d'AUREADE en direction des différents sites de mesures au cours de la campagne, enregistrés par le mât météorologique provisoire (tableau 3) et la station Météo France (tableau 4).

Site	Distance/cheminée (km)	Direction des vents avec impact de la cheminée (°)	Occurrence des vents ≥ 1,5 m/s en direction du site (%)	Vitesse moyenne des vents ≥ 1,5 m/s en direction du site (m/s)	Typologie théorique du site
1	0,4	210-240	7	3,2	Impact principal
2	0,2	40-70	1	1,8	Impact principal
3	0,9	110-140	3	2,8	Fond
4	1,6	40-70	1	1,8	Fond
5	1,8	310-340	6	3,0	Impact tertiaire
6	2,8	220-250	3	3,0	Fond
7	3,8	210-240	7	3,2	Fond
8	1,5	200-230	14	3,3	Impact secondaire
9	2,3	190-220	22	3,5	Impact secondaire

Occurrence des vents faibles < 1,5 m/s (%)

24

Tableau 3 : Typologies des sites en fonction des vents mesurés avec le mât météorologique provisoire au cours de la campagne de mesures

Site	Distance/cheminée (km)	Direction des vents avec impact de la cheminée (°)	Occurrence des vents ≥ 1,5 m/s en direction du site (%)	Vitesse moyenne des vents ≥ 1,5 m/s en direction du site (m/s)	Typologie théorique du site
1	0,4	210-240	27	3,2	Impact principal
2	0,2	40-70	1	2,4	Impact principal
3	0,9	110-140	2	2,9	Fond
4	1,6	40-70	1	2,4	Fond
5	1,8	310-340	8	2,6	Impact tertiaire
6	2,8	220-250	16	3,4	Impact tertiaire
7	3,8	210-240	27	3,2	Impact tertiaire
8	1,5	200-230	33	3,1	Impact secondaire
9	2,3	190-220	31	2,9	Impact tertiaire

Occurrence des vents faibles < 1,5 m/s (%)

38

Tableau 4 : Typologies des sites en fonction des vents mesurés à la station Météo France Mourmelon-Grand au cours de la campagne de mesures

Impact principal : Forte occurrence de vent rabattant le panache de l'installation vers le site de mesures et/ou forte influence de la diffusion des émissions.

Impact secondaire et tertiaire : Occurrence moindre de vent en direction du site de mesures ou forte occurrence de vent sur le site s'il est éloigné et/ou influence moindre de la diffusion des émissions de la source.

Fond : Vents peu ou pas orientés vers le site de mesures, ce dernier étant suffisamment éloigné de la source d'émission étudiée.

Quelles que soit les sources de données utilisées (mât météorologique provisoire ou station Météo France) :

En raison de la relativement forte proportion de vents faibles (24 à 38 % selon les données), favorisant l'accumulation des retombées autour à proximité de leurs sources, et de sa proximité à l'usine, **le site 2 est probablement un des sites les plus exposé aux émissions de l'UVE** (avec 200 m de distance, il est le site le plus proche de l'usine).

Ensuite, **le site 1, devrait également être parmi les sites les plus exposés aux émissions**, du fait de sa proximité avec l'usine (avec 400 m de distance, il est le second site le plus proche de l'usine) et des vents de l'usine en sa direction. En se référant aux données de Météo France, le site 1 est d'autant plus exposé que des vents sont en sa direction (27 % des vents, contre 7 % selon les données du mât provisoire).

Les autres sites sont théoriquement moins exposés aux émissions de l'usine, en raison de leur distance à l'usine et/ou à la proportion de vents de l'usine en leur direction.

L'interprétation de l'exposition des sites à l'usine variant légèrement selon la source de données utilisée, et en l'absence d'éléments permettant d'identifier laquelle reflète le mieux la réalité, **les typologies d'impact établies à partir des données de Météo France ont été retenues par défaut**.

Vitesse des vents et qualité de l'air :

Les vitesses des vents mesurée sur les deux stations météorologiques (3,0 et 2,2 m/s en moyenne) sont ni élevées, ni particulièrement faibles, assurant une dispersion moyenne des polluants de l'air.

c. Précipitations et températures

La figure 8 détaille les précipitations et températures moyennes sur la période de mesures des retombées.

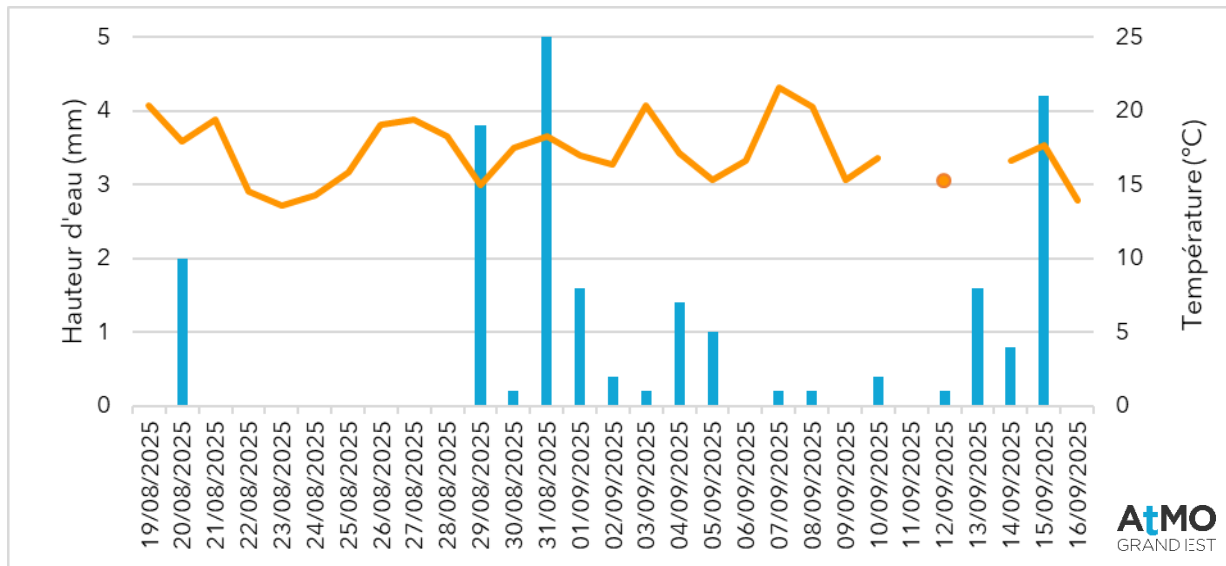


Figure 8 : Cumuls journaliers de précipitations et températures journalières mesurés à Mourmelon-Grand pendant la période de mesures (données mises à disposition par Météo France)

Pour des températures estivales comme celle-ci (17 °C en moyenne), l'atmosphère est plus instable qu'en temps hivernal : les conditions sont plus favorables à une bonne dispersion des polluants dans l'air. De plus, les émissions liées au chauffage sont absentes.

Le cumul des précipitations s'élève à 36 mm sur le mois de prélèvement, ce qui correspond aux normales saisonnières. Ces pluies se sont principalement concentrées entre le 29 août et le 15 septembre, après une période de huit jours consécutifs sans précipitations. Un épisode pluvieux isolé a également été enregistré le 20 août, faisant suite à six jours secs. Cette répartition des pluies est relativement favorable à l'entraînement des particules présentes dans l'air vers les jauge, celles-ci ayant eu le temps de s'accumuler durant les phases sans pluie.

2. Niveaux de pollution et impact potentiel de l'UVE

a. Dioxines et furannes

Concentrations en équivalent toxique

La figure 9 et le tableau 5 présentent les résultats avec l'ancien calcul de l'OMS des I-TEF (1998) et la figure 10 et le tableau 6 les résultats avec le nouveau calcul de l'OMS (2022). Dans les deux cas, les concentrations sont comparées aux valeurs de l'INERIS et du BRGM, mais à savoir qu'elles ont été produites avec une base de données construite avec les anciens facteurs I-TEF.

Concentration en dioxines/furannes (pg I-TEQ/m ² /j, OMS 1998)	1 (Impact principal)	2 (Impact principal)	3 (Fond)	4 (Fond)	5 (Impact tertiaire)	6 (Impact tertiaire)	7 (Impact tertiaire)	8 (Impact sec.)	9 (Impact tertiaire)
Total I-TEQ MIN	0,07	0,02	0,05	0,04	0,02	0,02	0,02	0,02	0,01
Total I-TEQ MAX	1,08	1,05	1,07	1,07	1,05	1,05	1,05	1,05	1,05
MAX I-TEQ MAX	0,36	0,36	0,36	0,36	0,36	0,36	0,36	0,36	0,36

Tableau 5 : Concentrations en dioxines et furannes en équivalent toxique (calcul OMS 1998) mesurées dans les retombées atmosphériques totales

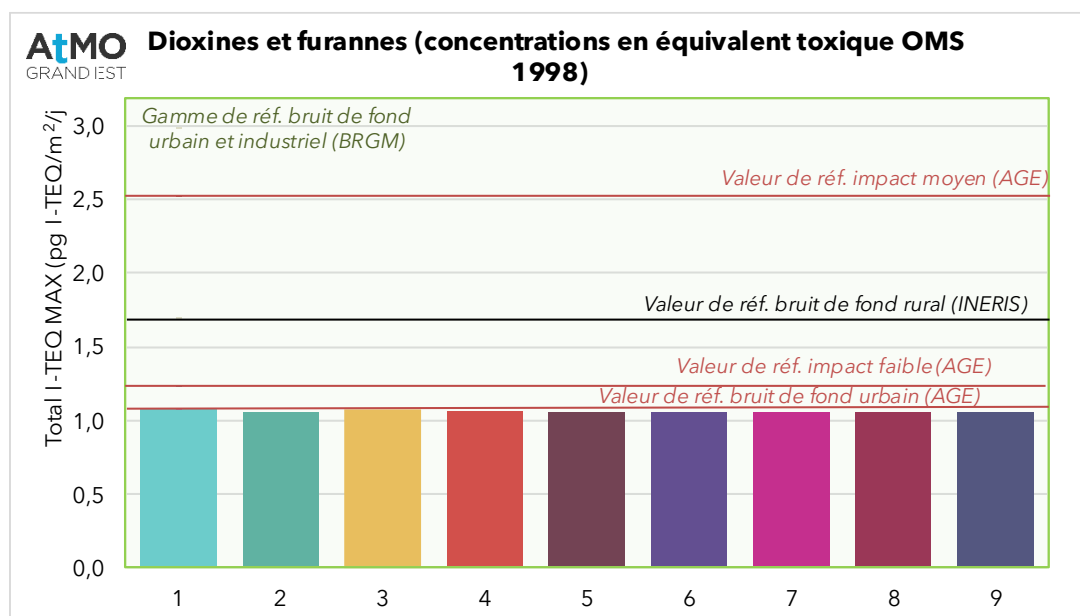


Figure 9 : Concentrations en dioxines et furannes en équivalent toxique (calcul OMS 1998) mesurées dans les retombées atmosphériques totales, comparées aux valeurs de référence de l'INERIS/du BRGM et d'ATMO Grand Est

Concentration en dioxines/furannes (pg I-TEQ/m ² /j, OMS 2022)	1 (Impact principal)	2 (Impact principal)	3 (Fond)	4 (Fond)	5 (Impact tertiaire)	6 (Impact tertiaire)	7 (Impact tertiaire)	8 (Impact sec.)	9 (Impact tertiaire)
Total I-TEQ MIN	0,22	0,10	0,22	0,19	0,11	0,11	0,09	0,09	0,07
Total I-TEQ MAX	1,00	0,90	1,00	0,97	0,90	0,91	0,88	0,88	0,87
MAX I-TEQ MAX	0,18	0,18	0,18	0,18	0,18	0,18	0,18	0,18	0,18

Tableau 6 : Concentrations en dioxines et furannes en équivalent toxique (calcul OMS 2022) mesurées dans les retombées atmosphériques totales

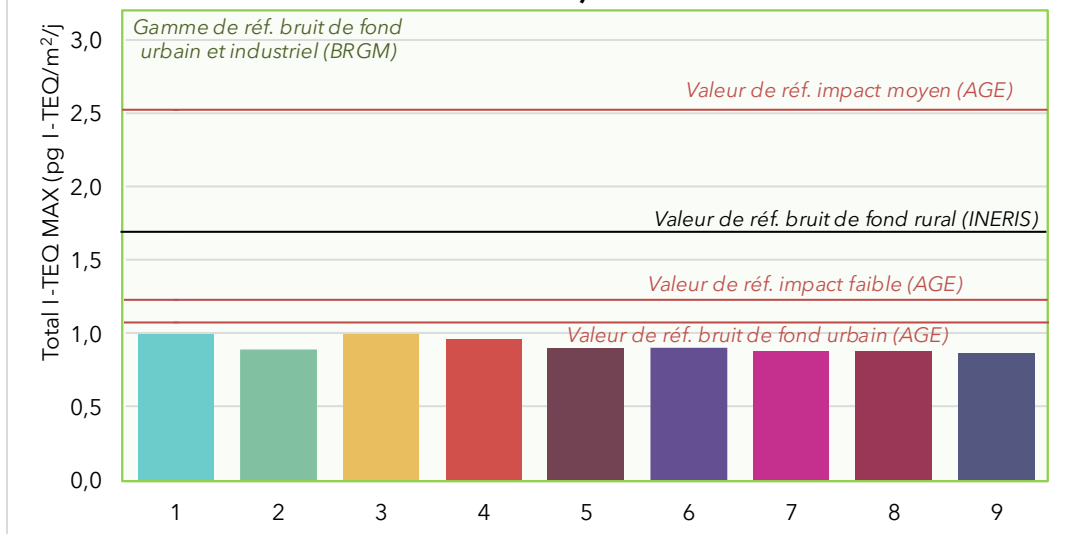


Figure 10 : Concentrations en dioxines et furannes en équivalent toxique (calcul OMS 2022) mesurées dans les retombées atmosphériques totales, comparées aux valeurs de référence de l'INERIS/du BRGM et d'ATMO Grand Est

Total I-TEQ MIN : Quantité toxique équivalente totale minimale où l'on considère les concentrations congénères en-dessous de la limite de quantification égales à zéro, c'est cas le plus favorable.

Total I-TEQ MAX : Quantité toxique équivalente totale minimale où l'on considère les concentrations congénères en-dessous de la limite de quantification égales à cette limite de quantification, c'est le cas le moins favorable (celui employé pour l'interprétation).

MAX I-TEQ MAX : Quantité toxique équivalente du congénère ayant la part la plus élevée dans le calcul du total I-TEQ MAX.

Que ce soit pour les concentrations calculées avec la méthode de l'OMS 1998 ou 2022, l'ensemble des sites prélevés enregistrent des concentrations en total I-TEQ MAX en-deçà de la valeur de référence de bruit de fond rural de l'INERIS. Les concentrations se situent également dans la gamme de référence du bruit de fond urbain et industriel du BRGM.

Vis-à-vis des statistiques établies par ATMO Grand Est (méthode de calcul OMS 1998), les concentrations se situent dans la gamme des sites témoins pour l'ensemble des sites.

Concernant les concentrations en équivalent toxique calculées avec la méthode de l'OMS 1998, elles sont toutes du même ordre de grandeur. Les sites 1 (impact principal) et 3 (fond) dominent très légèrement les autres sites.

Avec la méthode de l'OMS 2022, les concentrations sont un peu plus contrastées entre les sites 1 et 3 et les autres sites.

Cette différence est due aux nouveaux facteurs de toxicité attribués aux congénères dans le calcul de l'OMS 2022 : les concentrations en équivalent toxique MAX du calcul OMS 2022 peuvent être plus basses que celles du calcul OMS 1998 en raison de la baisse de toxicité attribuée à la majorité des molécules mesurées en dessous de la limite de quantification. A l'inverse, les concentrations en équivalent toxique calculées avec la méthode de l'OMS 2022 peuvent être plus hautes en raison de la hausse de toxicité associée à des congénères plus ou moins fréquemment observés.

Concentrations en masse

La figure 11 et le tableau 7 ci-après présentent les concentrations massiques des dioxines/furannes mesurées sur les sites autour d'AUREADE.

Concentrations massiques en dioxines/furannes (pg/m ² /j)	1 (Impact principal)	2 (Impact principal)	3 (Fond)	4 (Fond)	5 (Impact tertiaire)	6 (Impact tertiaire)	7 (Impact tertiaire)	8 (Impact sec.)	9 (Impact tertiaire)
	25,9	16,3	33,9	26,3	16,4	18,8	15,6	15,9	9,8

Tableau 7 : Concentrations massiques en dioxines et furannes (somme des 17 congénères) dans les retombées atmosphériques totales

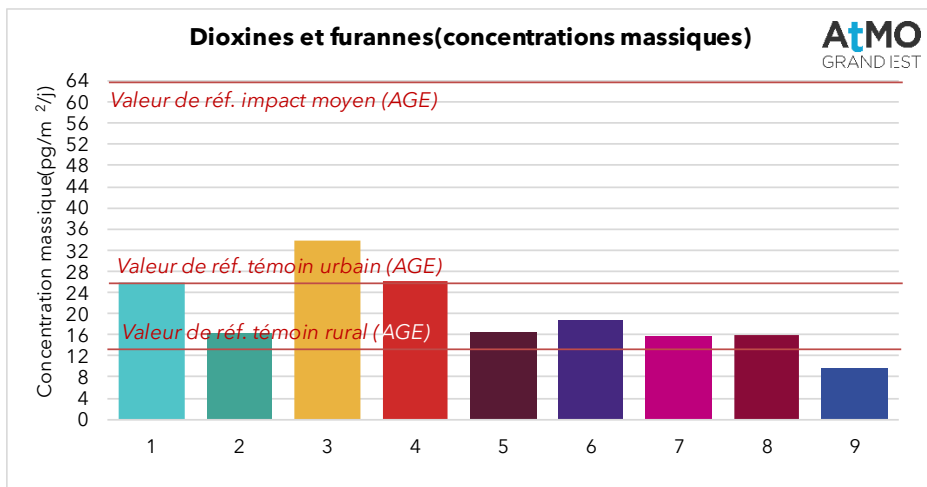


Figure 11 : Concentrations massiques en dioxines et furannes (somme des 17 congénères) mesurées dans les retombées atmosphériques totales comparées aux valeurs de référence d'ATMO Grand Est

Vis-à-vis des données de référence d'ATMO Grand Est, tous les sites, exceptés le site 3 (fond), se situent dans les gammes de concentrations des sites témoins ruraux, voire urbains pour les sites 1 (impact principal), 2 (impact principal) et 4 (fond). Quant au site 3, il se situe au-dessus des niveaux des concentrations observées sur des sites témoins et rentre dans la gamme des sites d'impact moyen.

Le site 3 détient la plus haute concentration massique de l'ensemble des sites, suivi par le site 4 et 1. Ces sites, notamment le site 3, sont relativement proches d'axes routiers, tendant à montrer que les émissions automobiles ont l'impact le plus visible sur les dioxines/furannes ce mois-ci. Pour le site 4, des émissions locales du village ont pu également faire augmenter les concentrations (par exemple : brûlage de végétaux, etc.)

Profils de congénères

La figure 12 ci-après présente les profils des congénères de dioxines/furannes dans les retombées atmosphériques totales mesurés au cours de la campagne, comparés aux mesures réalisées à l'émission.

Les concentrations des différents congénères dans les retombées sont présentées en détail dans l'annexe 7.

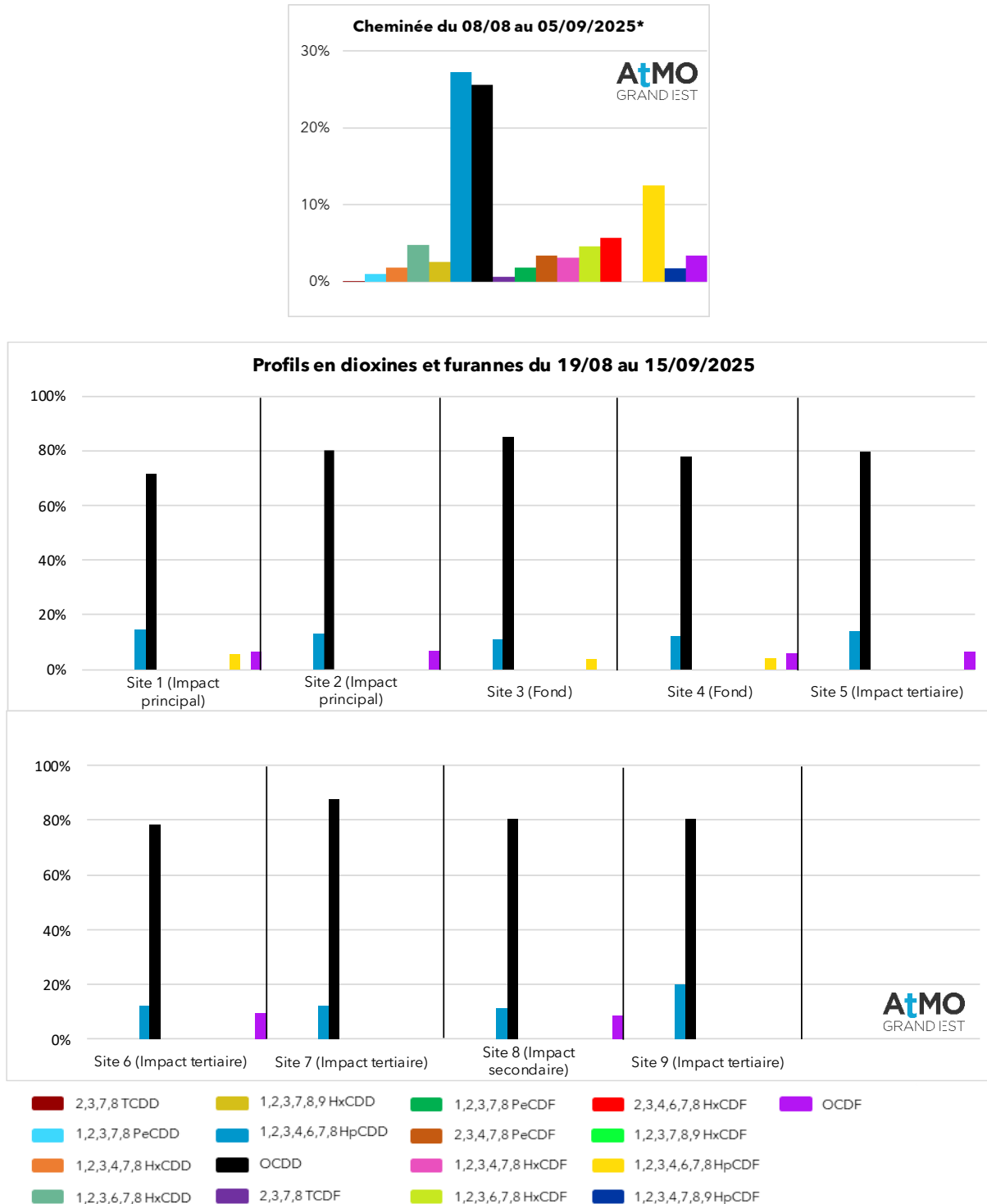


Figure 12 : Teneurs des différents congénères de dioxines/furannes mesurés en sortie de cheminée d'AUREADE et dans les retombées atmosphériques totales à proximité de l'usine (du 08/08 au 05/09/2025)

*Rapport KALI'AIR CKL25-A055-PR09-V01 du 30/09/2025

Seuls les congénères mesurés au-delà de la limite de quantification sont représentés.

Sur l'ensemble des sites l'OCDD et le 1,2,3,4,6,7,8 HpCDD sont mesurés au-dessus de la limite de quantification et sont prédominants. Au vu de la présence d'OCDD et du 1,2,3,4,6,7,8 HpCDD sur l'ensemble des sites (quelle que soit leur exposition à l'usine), ils sont probablement présents dans le bruit de fond environnemental.

Le congénère 1,2,3,4,6,7,8 HpCDF et OCDF sont également observés sur certains sites, exposés ou non à l'UVE, ainsi sans corrélation avec son activité.

A l'émission de l'usine, le 1,2,3,4,6,7,8 HpCDD est dominant, suivi de près par l'OCDD, puis par le 1,2,3,4,6,7,8 HpCDF. Cet ordre particulier n'apparaît sur aucun site, et la présence de 1,2,3,4,6,7,8 n'est pas observée particulièrement sur les sites exposés à l'usine (uniquement sur les sites 1, 3 et 4).

Cela ne démontre pas l'absence de dioxines et furannes dans les retombées liées à AUREADE, qui peuvent être présentes sur tous les sites de mesures au vu des congénères détectés, néanmoins aucun impact significatif de l'usine n'est visible sur ces résultats.

b. Métaux lourds

Le tableau ci-dessous regroupe les résultats obtenus sur les sites prospectés :

Concentration en métaux dans les retombées ($\mu\text{g}/\text{m}^2/\text{j}$)	1 (Impact principal)	2 (Impact principal)	3 (Fond)	4 (Fond)	5 (Impact tertiaire)	6 (Impact tertiaire)	7 (Impact tertiaire)	8 (Impact sec.)	9 (Impact tertiaire)
V	1,88	0,91	0,98	0,88	1,50	1,07	1,08	0,95	0,63
Cr	1,68	0,85	0,75	0,61	0,95	0,95	1,02	0,70	4,96
Mn	43,91	31,03	27,97	29,80	31,41	39,69	37,46	29,65	22,67
Co	0,43	0,29	0,24	0,21	0,27	0,28	0,26	0,19	0,20
Ni	1,26	0,82	1,65	0,73	0,83	0,97	1,21	0,58	0,66
Cu	8,90	8,09	8,80	9,50	5,73	17,86	6,68	6,95	10,73
As	0,99	0,27	0,25	0,22	0,31	0,31	0,33	0,26	0,19
Cd	0,08	0,06	0,04	0,06	0,05	0,07	0,06	0,06	0,08
Sb	0,20	0,14	0,26	0,17	0,05	0,15	0,04	0,05	0,12
Pb	1,88	2,11	1,75	1,36	1,48	1,69	4,43	1,36	20,96
Hg	0,01	0,01	0,01	0,01	0,00	0,01	0,01	0,01	0,01

Tableau 8 : Concentrations en métaux lourds mesurées dans les retombées atmosphériques totales

En bleu : résultats inférieurs à la limite de quantification. Les valeurs indiquées sont la limite de quantification divisée par 2 (LQ/2).

Le mercure a été mesuré en dessous de la limite de quantification du laboratoire d'analyse.

Les figures 13 à 22 présentent les résultats de mesures pour l'ensemble des métaux au-delà de la limite de quantification (comparés aux valeurs de référence d'ATMO Grand Est et de l'INERIS pour les métaux disposant de ces valeurs).

Pour les métaux disposant de valeur de référence provenant de l'étude INERIS :

Chrome :

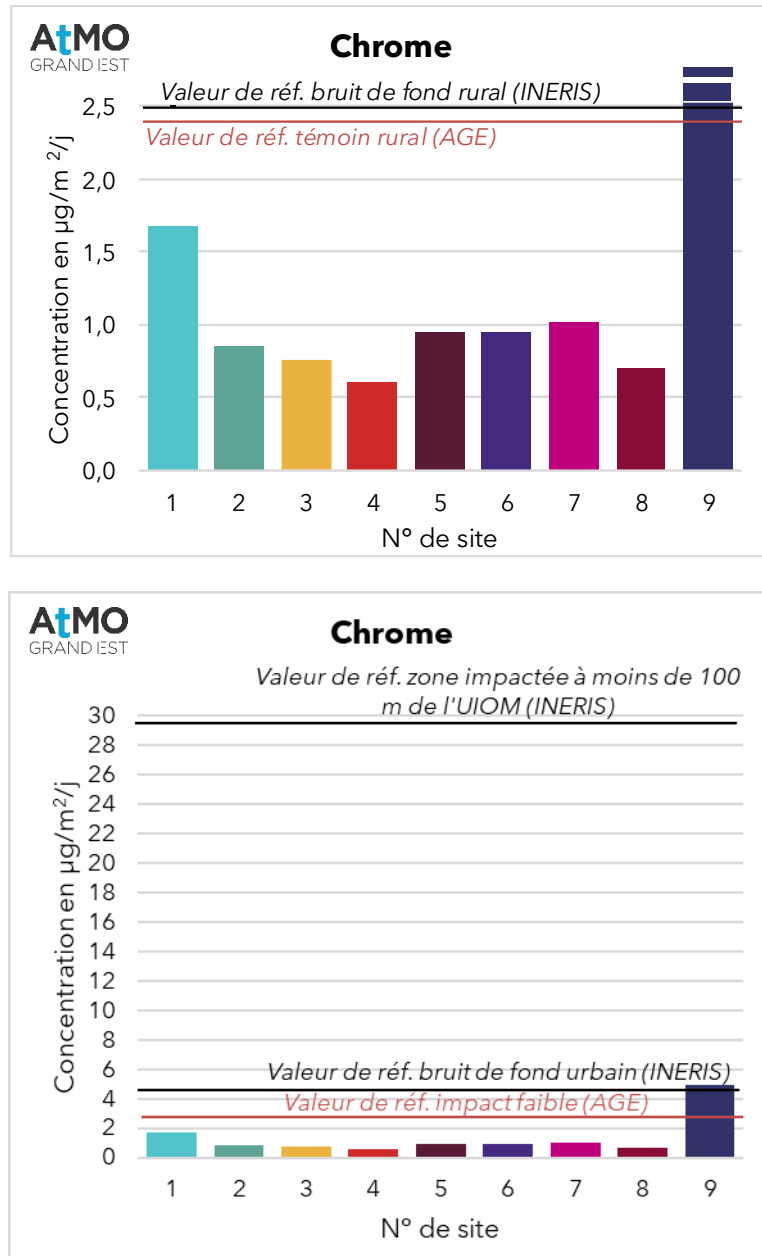


Figure 13 : Concentrations en chrome mesurées dans les retombées atmosphériques totales, comparées aux valeurs de référence de l'INERIS et d'ATMO Grand Est

- Les concentrations en chrome mesurées sont toutes inférieures à la valeur de bruit de fond rural de référence de l'INERIS, à l'exception du site 9, très légèrement supérieure à la concentration de référence de bruit de fond urbain ;
- Au regard des valeurs de la base de données d'ATMO Grand Est, les concentrations restent dans les gammes de sites témoins ruraux, sauf le site 9 ;
- Le site 9 (impact tertiaire) enregistre la plus haute concentration de la campagne de mesures, probablement en lien avec des émissions locales, d'origine inconnue.

Le site 1 (impact principal) se démarque également des autres sites, pouvant suggérer un impact potentiel de l'UVE.

Manganèse :

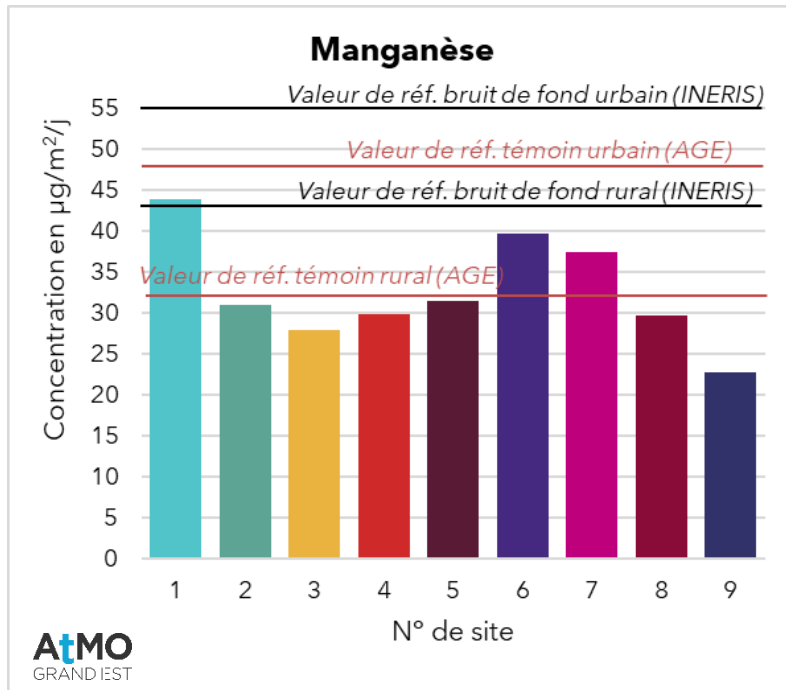


Figure 14 : Concentrations en manganèse mesurées dans les retombées atmosphériques totales, comparées aux valeurs de référence de l'INERIS et d'ATMO Grand Est

- Au regard des valeurs de référence de l'INERIS, l'ensemble des sites enregistrent des niveaux situés sous la référence de bruit de fond rural, sauf le site 1, légèrement supérieur à cette valeur ;
- En comparaison aux valeurs de la base de données d'ATMO Grand Est, les concentrations de l'ensemble des sites restent dans les gammes de valeurs observées sur un site témoin rural ou urbain ;
- Le site 1 (impact principal) présente la plus haute concentration de la campagne de mesures, potentiellement en lien avec les activités de l'usine.

Les sites 6 et 7 (impact tertiaire), se démarquent également des autres sites, en lien possiblement avec des épandages ou des remuements de terre.

Nickel :

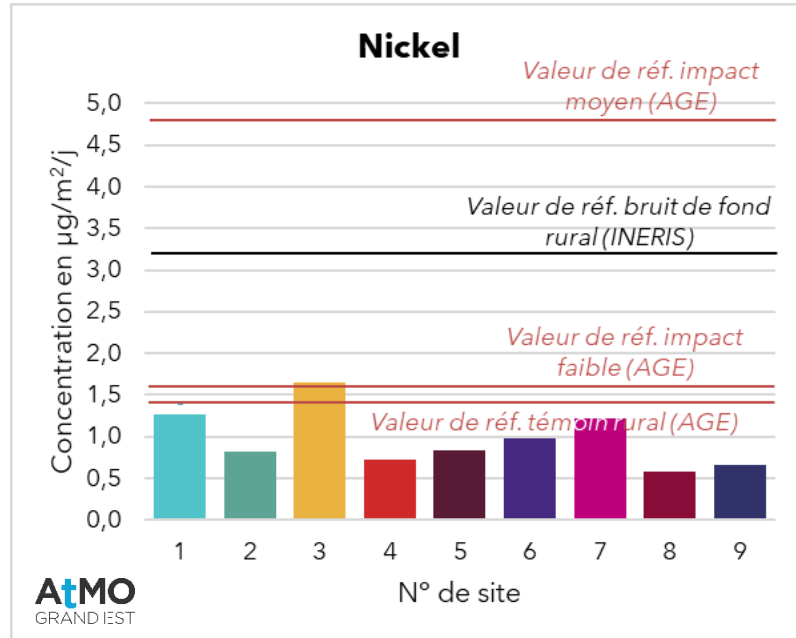


Figure 15 : Concentrations en nickel mesurées dans les retombées atmosphériques totales, comparées aux valeurs de référence de l'INERIS et d'ATMO Grand Est

- Les niveaux de nickel sont tous inférieurs à la valeur de bruit de fond rural donnée par l'INERIS ;
- Vis-à-vis des valeurs de la base de données d'ATMO Grand Est, les concentrations en nickel sont toutes situées dans les gammes de valeurs observées sur les sites témoins ruraux ;
- Les concentrations sur les sites sont très proches les unes des autres. Le site 3 (fond) se démarque légèrement des autres sites, possiblement en lien avec l'autoroute.

Cuivre :

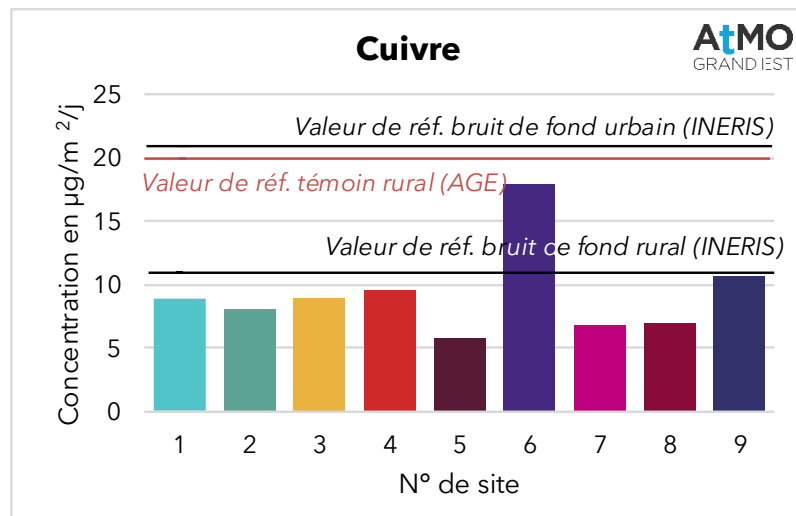


Figure 16 : Concentrations en cuivre mesurées dans les retombées atmosphériques totales, comparées aux valeurs de référence de l'INERIS et d'ATMO Grand Est

- Les teneurs en cuivre sont toutes inférieures à la valeur de référence de bruit de fond rurale de l'INERIS, sauf pour le site 6, situé entre la concentration de bruit de fond rural et de bruit de fond urbain ;
- Vis-à-vis des valeurs de la base de données d'ATMO Grand Est, les concentrations en cuivre sont toutes situées dans les gammes de valeurs observées sur les sites témoins ruraux ;

- Le site 6 (impact tertiaire) enregistre la plus haute concentration en cuivre, en lien probablement avec des émissions locales, d'origine inconnue.

Arsenic :

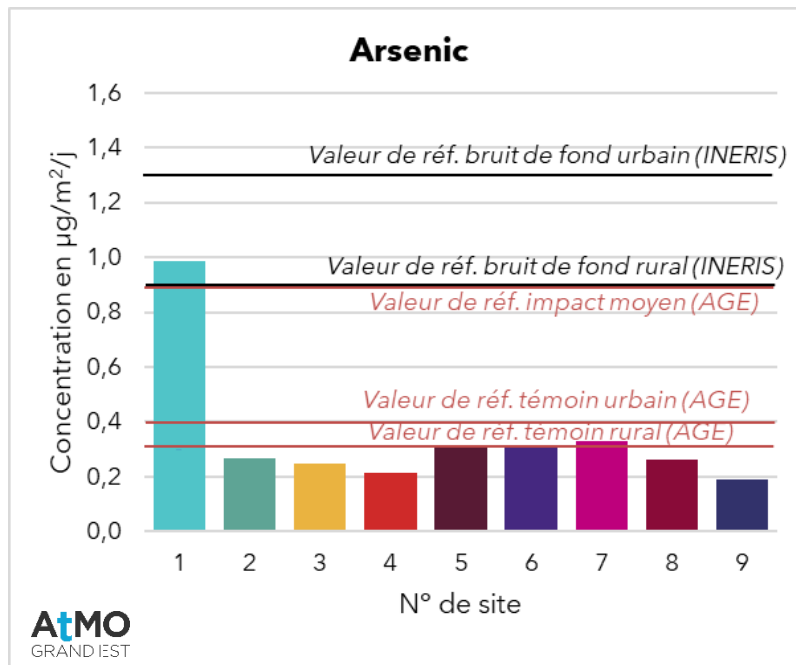


Figure 17 : Concentrations en arsenic mesurées dans les retombées atmosphériques totales, comparées aux valeurs de référence de l'INERIS et d'ATMO Grand Est

- L'ensemble des sites sont inférieurs à la valeur de référence de bruit de fond rural donnée par l'INERIS, sauf le site 1, enregistrant une concentration légèrement supérieure à cette valeur ;
- En comparaison aux valeurs de la base de données d'ATMO Grand Est, les concentrations de l'ensemble des sites restent dans les gammes de valeurs observées sur site témoin, sauf pour le site 1, dont la concentration est typique de concentrations de site impacté par une UVE ;
- Le site 1 (impact principal) enregistre la plus haute concentration de la campagne de mesures, probablement en lien avec les émissions d'AUREADE.

Cadmium :

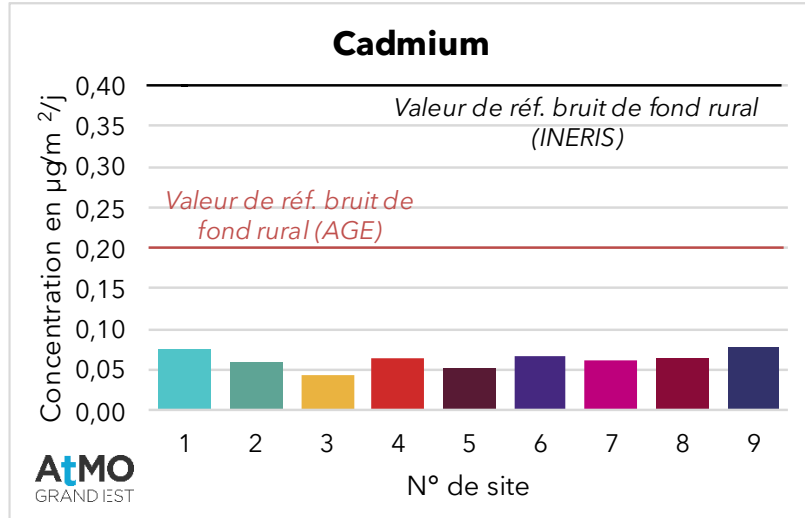


Figure 18 : Concentrations en cadmium mesurées dans les retombées atmosphériques totales, comparées aux valeurs de référence de l'INERIS et d'ATMO Grand Est

- Les niveaux en cadmium sont tous inférieurs à la valeur de bruit de fond rural de l'INERIS ;
- En comparaison avec les valeurs de la base de données d'ATMO Grand Est, les concentrations de l'ensemble des sites se situent dans la gamme des sites témoins ruraux ;
- Les concentrations en cadmium sont toutes du même ordre de grandeur sur les différents sites, ne mettant pas en avant des émissions spécifiques en cadmium sur la zone d'étude.

Plomb :

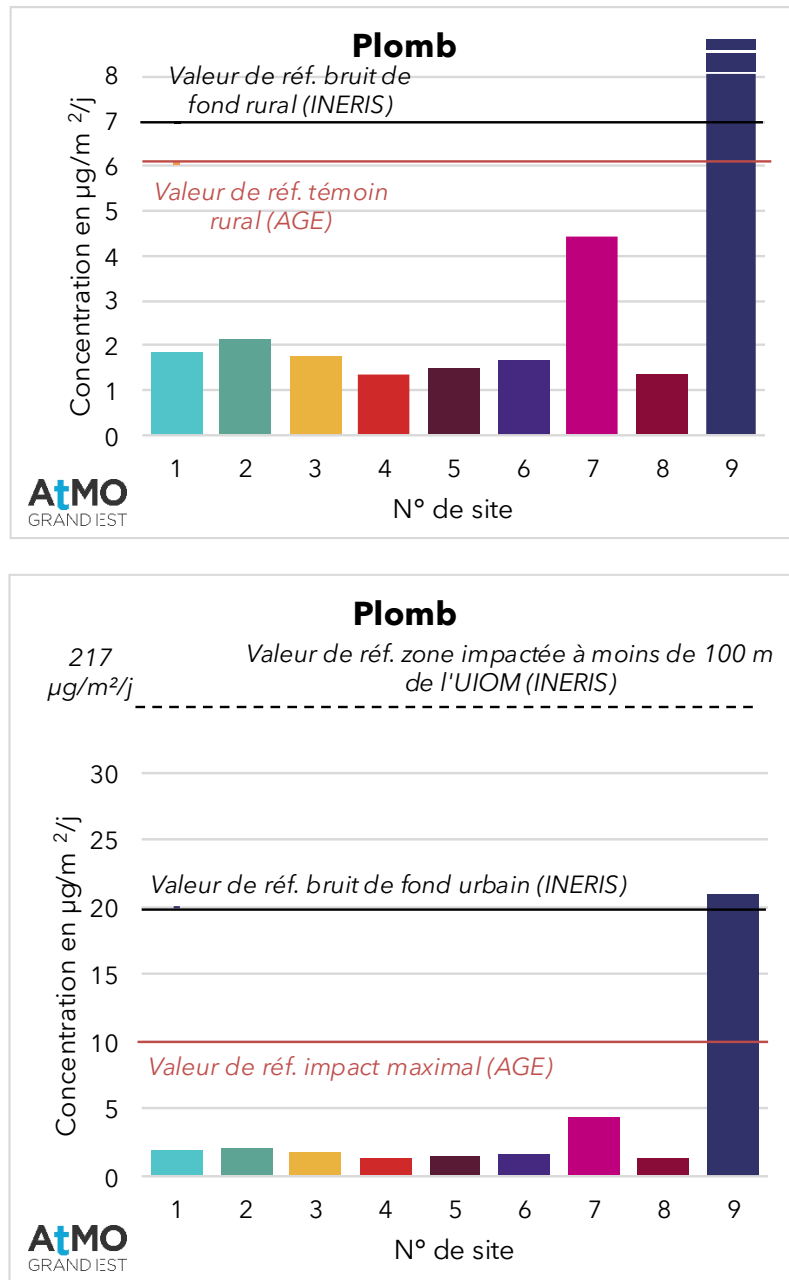


Figure 19 : Concentrations en plomb mesurées dans les retombées atmosphériques totales, comparées aux valeurs de référence de l'INERIS et d'ATMO Grand Est

- Les concentrations en plomb sont toutes inférieures à la valeur de bruit de fond rural de l'INERIS, à l'exception du site 9, légèrement supérieur à la référence de bruit de fond urbain ;
- Vis-à-vis des valeurs de la base de données d'ATMO Grand Est, les concentrations en plomb des sites restent dans les gammes de celles de sites témoins, sauf le site 9, typique d'une concentration d'un site exposé d'une UVE ;
- Le site 9 (impact tertiaire) enregistre, de loin, la plus haute concentration en plomb de la campagne de mesures, sûrement en lien avec une émissions locale, dont l'origine n'est pas déterminée.

Sur le site 7 (impact tertiaire), la teneur en plomb mesurée est également significativement supérieure aux autres sites, potentiellement en lien avec le trafic ferroviaire à proximité.

Pour les métaux ne disposant pas de valeur de référence provenant de l'étude INERIS :

Vanadium :

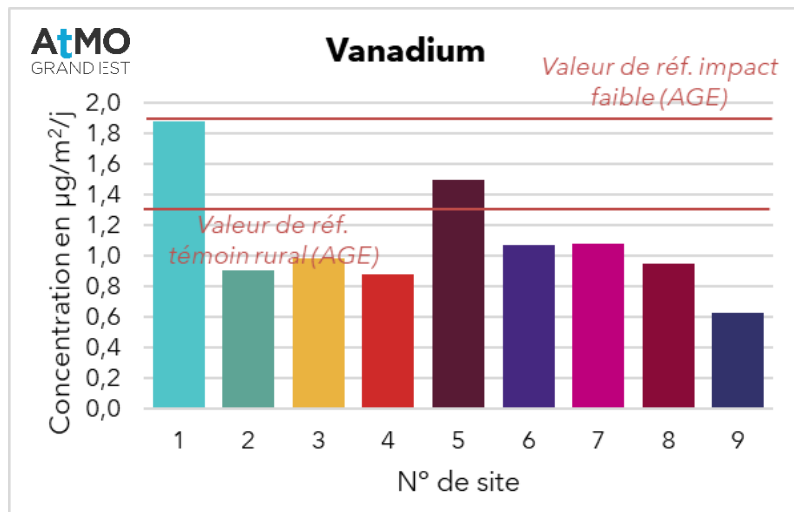


Figure 20 : Concentrations en vanadium mesurées dans les retombées atmosphériques totales, comparées aux valeurs de référence d'ATMO Grand Est

- En comparaison avec les valeurs de la base de données d'ATMO Grand Est, les concentrations en vanadium de l'ensemble des sites sont dans les gammes correspondant aux sites témoins, sauf les sites 1 et 5, ayant des concentrations se rapprochant plus de sites exposés à une UVE ;
- Le site 1 (impact principal) enregistre la plus haute concentration en vanadium, potentiellement en lien avec les émissions de l'UVE.

Le site 5 (impact tertiaire) se démarque en dépassant légèrement les autres concentrations, plutôt en lien avec une source locale, non identifiée.

Cobalt :

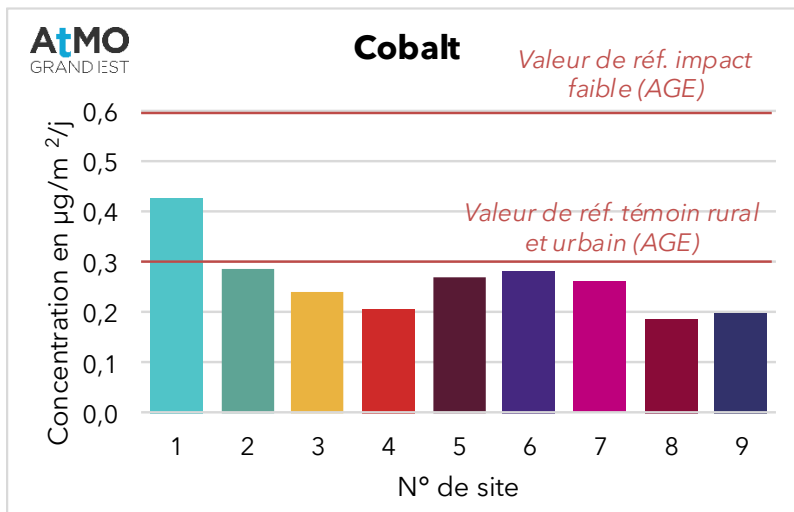


Figure 21 : Concentrations en cobalt mesurées dans les retombées atmosphériques, comparées aux valeurs de référence d'ATMO Grand Est

- Au regard des valeurs de la base de données d'ATMO Grand Est, les concentrations des sites sont typiques de sites témoins, voire d'un site impacté par une UVE pour site 1.

- Le site 1 (impact principal) présente une concentration légèrement plus haute que les autres, possiblement en lien avec les activités de l'UVE.

Antimoine :

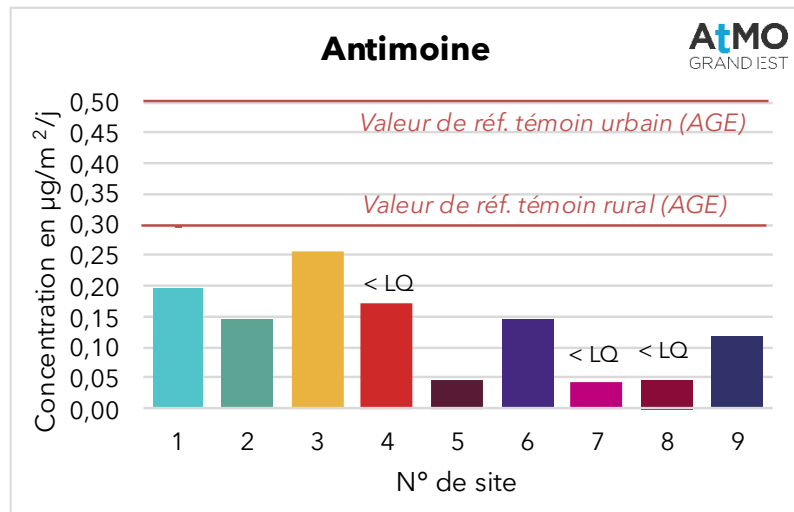


Figure 22 : Concentrations en antimoine mesurées dans les retombées atmosphériques totales, comparées aux valeurs de référence d'ATMO Grand Est

- Au regard des valeurs de la base de données d'ATMO Grand Est, les concentrations mesurées sur l'ensemble des sites sont typiques de sites témoins ruraux, ou témoins urbains pour le site 2 ;
- Les concentrations sont globalement du même ordre de grandeur.

La figure ci-dessous présente la répartition des différentes concentrations en métaux lourds dans les retombées.

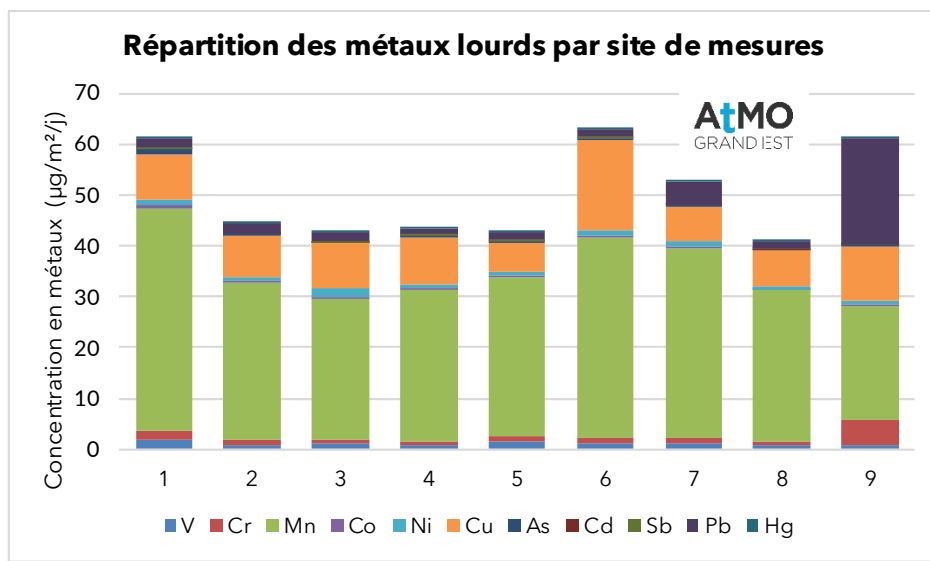


Figure 23 : Répartition des métaux mesurés dans les retombées atmosphériques totales

Le profil global des concentrations en métaux totaux est dominé majoritairement par le manganèse, puis par le cuivre et le plomb. Cet ordre de répartition suit celui des concentrations caractéristiques d'un bruit de fond données par l'INERIS. Le site 9 fait exception avec ses concentrations en plomb et en chrome bien plus hautes que sur les autres sites.

Le site 1 (impact principal) présente une des plus hautes concentrations en métaux totaux, principaux en lien avec ses concentrations en manganèse.

c. Poussières

Le tableau 9 et la figure 24 regroupent les concentrations en poussières dans les retombées atmosphériques totales mesurées au cours de la campagne.

Concentration en poussières dans les retombées ($\mu\text{g}/\text{m}^2/\text{j}$)	1 (Impact principal)	2 (Impact principal)	3 (Fond)	4 (Fond)	5 (Impact tertiaire)	6 (Impact tertiaire)	7 (Impact tertiaire)	8 (Impact sec.)	9 (Impact tertiaire)
25,54	12,13	11,04	10,05	9,49	13,23	13,06	10,87	8,49	

Tableau 9 : Concentrations en poussières mesurées dans les retombées atmosphériques totales

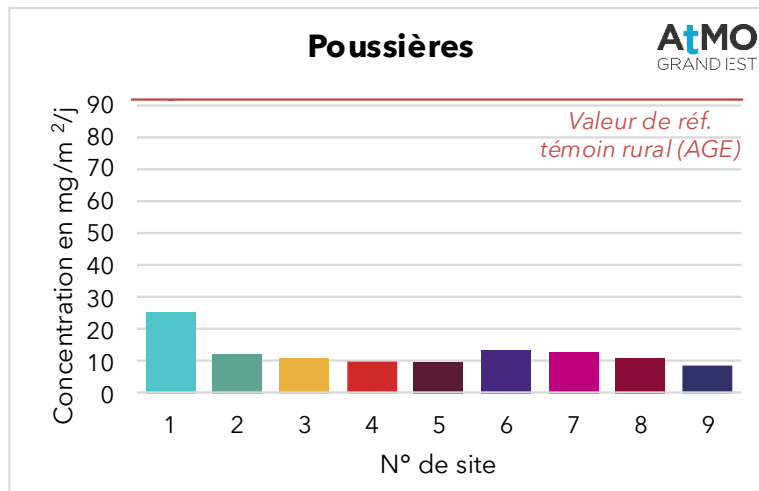


Figure 24 : Concentrations en poussières mesurées dans les retombées atmosphériques totales

Le site 1 (impact principal) présente la plus haute teneur en poussière de la campagne, possiblement en lien avec les activités de l'UVE. Les autres concentrations sont du même ordre de grandeur.

CONCLUSION

Ce rapport dresse le bilan de la seconde campagne de mesures de l'année 2025 réalisée autour de l'usine de l'UVE AUREADE. La campagne de mesures s'est déroulée du 19 août au 16 septembre pour les dioxines, les métaux lourds et les poussières dans les retombées atmosphériques totales.

Les conclusions de cette campagne sont les suivantes :

Dioxines/furannes :

L'ensemble des sites prélevés enregistre des **concentrations en équivalent toxique inférieures à la valeur de référence du bruit de fond rural (INERIS) et dans la gamme du bruit de fond urbain et industriel (BRGM)**. Par rapport aux concentrations de références d'ATMO Grand Est, les concentrations en équivalent toxique et en masse se situent dans les gammes des **sites témoins** pour la majorité des sites. Le **site 3** se distingue en dépassant les niveaux des sites témoins et s'inscrit dans la gamme des **sites d'impact moyen**.

En termes de concentration massique, le **site 3 (fond)** enregistre la valeur la plus élevée, suivie des **sites 4 (fond) et 1 (impact principal)**. Cette répartition suggère une influence des **émissions automobiles** (proximité des axes routiers, notamment pour le site 3) et, pour le **site 4**, une contribution possible d'**émissions locales du village** de La Veuve (brûlage de végétaux, etc.).

Sur tous les sites, **l'OCDD et le 1,2,3,4,6,7,8 HpCDD** sont mesurés au-dessus de la limite de quantification sur l'ensemble des sites, indiquant leur présence dans le **bruit de fond environnemental**. D'autres congénères, comme le **1,2,3,4,6,7,8 HpCDF** et **l'OCDF**, sont également détectés sur certains sites, sans lien clair avec l'activité de l'UVE en raison de la position des sites concernés. Également, bien que des congénères

émis par l'usine soient présents sur certains sites, la position de ces sites par rapport à l'usine ne suggère **aucun impact significatif de l'activité de l'usine AUREADE sur les retombées**.

Métaux lourds :

Pour les métaux disposant de valeur de référence provenant de **l'étude INERIS**, **aucun site n'a enregistré de concentration supérieure au bruit de fond urbain de référence, excepté le chrome et les plomb sur le site 9.**

Selon les valeurs de référence construites par **ATMO Grand Est**, **quelques sites présentent des concentrations tendant vers des niveaux de sites exposés à une UVE : le site 9 pour le plomb et le chrome, le site 1 pour l'arsenic, le cobalt et le vanadium, le site 3 pour le nickel et le site 5 pour le vanadium.**

Les émissions de l'usine AUREADE pourraient avoir un impact sur le site 1, situé dans la zone industrielle, pour le chrome, le manganèse, l'arsenic, le vanadium et le cobalt. Cependant cet impact se limiterait uniquement à ce site : le site 2, site aussi exposé que le site 1 aux émissions de l'usine, ne présente pas des concentrations plus élevées que les autres sites. Et le profil de concentration en métaux du site reste relativement identique aux autres sites ainsi qu'au profil de référence de site en situation de bruit de fond.

Parmi les autres sites, certains enregistrent des concentrations dépassant significativement les autres sites, sans lien évident avec les émission de l'UVE selon l'ordre des concentrations sur les sites, **mais plutôt en lien avec d'autres sources localisées présumées** : épandage/remuement de terre (manganèse sur le site 6 et 7), trafic routier de l'autoroute (nickel et antimoine sur le site 3), trafic ferroviaire (plomb sur le site 7) ou d'autres sources non-identifiées (vanadium sur le site 5, cuivre sur le site 6, chrome et plomb sur le site 9). Le site 9 présente le profil le plus particulier avec des concentrations en chrome et plomb particulièrement élevées par rapport aux autres sites.

Poussières :

Le site 1 (impact principal) présente la plus haute teneur en poussière de la campagne, possiblement en lien avec les activités de l'UVE. Les autres concentrations sont du même ordre de grandeur, **n'indiquant pas un impact visible de l'usine au-delà du site 1.**

Perspectives :

Le bilan de l'année 2025 consolidera les résultats des deux campagnes de mesures afin de calculer les concentrations moyennes annuelles en polluants. Ces moyennes seront mises en perspectives avec les valeurs de référence et l'historique de mesures, afin de voir l'impact sur le long terme de l'UVE sur les retombées.

ANNEXES

Annexe 1 : Impact sur la santé/l'environnement des polluants étudiés

Dioxines/furannes

Une exposition court terme à forte dose chez l'homme peut entraîner des lésions cutanées (chloracné) et une altération de la fonction hépatique. Une exposition prolongée peut endommager le système immunitaire, perturber les systèmes nerveux et endocrinien. La dioxine de Seveso (2,3,7,8 TCDD) est la seule dioxine reconnue cancérogène pour l'Homme, d'après le Centre International de Recherche sur le Cancer (CIRC). Cependant, plusieurs autres dioxines sont reconnues comme étant tératogènes et induisant des baisses de la fertilité, ainsi que des troubles endocriniens.

La toxicité potentielle des 17 congénères est exprimée par rapport au composé le plus toxique (2,3,7,8-TCDD), en assignant à chaque congénère un coefficient de pondération appelé I-TEF (International - Toxic Equivalent Factor). Ainsi, on attribue à la molécule de référence un I-TEF égal à 1.

La quantité toxique équivalente I-TEQ est obtenue par la somme des concentrations de chaque congénère pondérée par leur TEF, et exprimée en pg I-TEQ/m³/j, soit : **I-TEQ = Σ (C_i x TEF_i)**

Où C_i et TEF_i sont la concentration et le TEF du congénère i contenu dans le mélange.

La quantité toxique équivalente maximale I-TEQ MAX est calculée en utilisant les valeurs limites de détection pour les congénères non détectés, c'est-à-dire le cas le plus défavorable.

Il existe deux systèmes de calcul de la toxicité I-TEQ (OTAN et OMS), celui retenu dans ce rapport est celui proposé par l'OMS. A savoir que depuis mars 2024, l'OMS propose des nouveaux coefficients d'équivalence toxique I-TEF, établis à partir d'une base de données plus complète que lors des précédentes études et en actualisant la méthode de calcul^{3,4}.

Pour la surveillance d'AUREADE, les 17 congénères de dioxines et furannes classés toxiques sont mesurés dans les retombées atmosphériques.

Congénère	I-TEF	Congénère	I-TEF
		Dioxines	Furannes
2,3,7,8 TCDD	1	2,3,7,8 TCDF	0,1
1,2,3,7,8 PeCDD	1	1,2,3,7,8 PeCDF	0,05
1,2,3,4,7,8 HxCDD	0,1	2,3,4,7,8 PeCDF	0,5
1,2,3,6,7,8 HxCDD	0,1	1,2,3,4,7,8 HxCDF	0,1
1,2,3,7,8,9 HxCDD	0,1	1,2,3,6,7,8 HxCDF	0,1
1,2,3,4,6,7,8 HpCDD	0,01	2,3,4,6,7,8 HxCDF	0,1
OCDD	0,0001	1,2,3,7,8,9 HxCDF	0,1
		1,2,3,4,6,7,8 HpCDF	0,01
		1,2,3,4,7,8,9 HpCDF	0,01
		OCDF	0,0001

Facteur international d'équivalence toxique (I-TEF) pour les 17 congénères de dioxines/furannes (système OMS 1998)

³ Article de l'OMS « WHO expert consultation on updating the 2005 toxic equivalency factors for dioxin like compounds, including some polychlorinated biphenyls », 15 mars 2024, <https://www.who.int/news-room/15-03-2024-who-expert-consultation-on-updating-the-2005-toxic-equivalency-factors-for-dioxin-like-compounds-including-some-polychlorinated-biphenyls>

⁴ The 2022 world health organization reevaluation of human and mammalian toxic equivalency factors for polychlorinated dioxins, dibenzofurans and biphenyls, Michael De Vito et al., *Regulatory Toxicology and Pharmacology*, janvier 2024

Congénère	I-TEF	Congénère	I-TEF
Dioxines		Furannes	
2,3,7,8 TCDD	1	2,3,7,8 TCDF	0,07
1,2,3,7,8 PeCDD	0,4	1,2,3,7,8 PeCDF	0,01
1,2,3,4,7,8 HxCDD	0,09	2,3,4,7,8 PeCDF	0,1
1,2,3,6,7,8 HxCDD	0,07	1,2,3,4,7,8 HxCDF	0,3
1,2,3,7,8,9 HxCDD	0,05	1,2,3,6,7,8 HxCDF	0,09
1,2,3,4,6,7,8 HpCDD	0,05	2,3,4,6,7,8 HxCDF	0,1
OCDD	0,001	1,2,3,7,8,9 HxCDF	0,2
		1,2,3,4,6,7,8 HpCDF	0,02
		1,2,3,4,7,8,9 HpCDF	0,1
		OCDF	0,002

Facteur international d'équivalence toxique (I-TEF) pour les 17 congénères de dioxines/furannes (système OMS 2022)

Métaux lourds

La plupart des métaux lourds, sous forme d'oligo-éléments et à faible dose, sont nécessaires à la vie. Ils peuvent cependant se révéler très nocifs en quantités trop importantes. C'est le cas du fer (Fe), du cuivre (Cu), du zinc (Zn), du nickel (Ni), du cobalt (Co), du vanadium (V), du sélénium (Se), du molybdène (Mo), du manganèse (Mn), du chrome (Cr), de l'arsenic (As) et du titane (Ti). D'autres ne sont pas nécessaires à la vie et sont préjudiciables dans tous les cas, comme le plomb (Pb), le cadmium (Cd) et l'antimoine (Sb). Les métaux lourds s'accumulent dans les organismes vivants et ont des effets toxiques à court et long terme. Certains, comme le cadmium, le chrome et le plomb, sont cancérogènes.

- **Le plomb** est un polluant particulièrement toxique pour la santé humaine. Cette toxicité est renforcée par la bioaccumulation. La principale voie d'absorption du plomb par l'organisme est digestive, par le lait, l'eau et les boissons. Les écailles de peinture, les poussières présentes en milieu domestique peuvent être ingérées par les jeunes enfants par portage main bouche. L'absorption pulmonaire peut jouer un rôle important pour les expositions professionnelles ou pour les personnes vivant sous les rejets atmosphériques d'entreprises polluantes, puisque 20 % à 30 % du plomb inhalé est absorbé par l'organisme. La toxicité causée à long terme par le plomb est communément appelée « saturnisme ». Elle peut avoir des effets sur les systèmes nerveux, hématopoïétique et cardiovasculaire. A forte dose, le plomb provoque des troubles neurologiques, hématologiques et rénaux. Il peut entraîner chez l'enfant des troubles du développement cérébral, avec des perturbations psychologiques et des difficultés d'apprentissage scolaire. Le plomb est considéré potentiellement cancérogène pour l'homme.
- Chez l'homme, **l'arsenic** est absorbé à 95 % par voie orale et à 30 à 34 % par inhalation. La voie cutanée est une voie mineure d'absorption. L'inhalation à l'arsenic peut provoquer l'apparition de lésions cutanées et des troubles digestifs, le développement de cancer des voies respiratoires, ainsi qu'une augmentation du risque de mortalité par accident cardiovasculaire. La forme la plus toxique est l'arsenic inorganique qui s'accumule dans la peau, les cheveux et les ongles. A forte dose, il pourrait favoriser l'apparition de cancers des poumons, des reins, etc. L'union européenne a classé certains dérivés de l'arsenic comme « substances que l'on sait être cancérogènes pour l'homme ».
- Les deux principales voies d'absorption du **cadmium** sont l'inhalation et l'ingestion. Le cadmium se concentre principalement dans le foie et les reins (entre 50 % et 70 % de la charge totale) et peut provoquer des troubles de la respiration et des voies urinaires. L'exposition chronique entraîne l'apparition d'une néphropathie irréversible pouvant évoluer vers une insuffisance rénale. Il est classé comme agent cancérogène pour l'homme.
- Pour le **nickel**, il occasionne des perturbations intestinales, convulsions et asphyxie par ingestion d'une dose de 1 à 3 mg par kg de poids corporel. Par contact, les symptômes sont : démangeaisons,

dermatites, asthme, inflammations. Par les voies respiratoires, on observe une élévation du nombre de cancers du poumon et des cavités nasales. Il est classé comme agent cancérogène pour l'homme.

Pour la surveillance de AUREADE, les métaux lourds suivants sont mesurés dans les retombées atmosphériques et dans l'air ambiant : vanadium (V), chrome (Cr), manganèse (Mn), cobalt (Co), nickel (Ni), cuivre (Cu), arsenic (As), cadmium (Cd), antimoine (Sb), plomb (Pb) et mercure (Hg).

Annexe 2 : Valeurs de référence

Pour les **dioxines et furannes**, il n'existe pas de niveau réglementaire français dans le cadre des retombées atmosphériques. Cependant, des valeurs typiques peuvent servir de référence aux résultats de mesures, répertoriées dans le document d'accompagnement du Guide sur la surveillance dans l'air autour des installations classées⁵ :

Typologie	PCDD/F dans les dépôts atmosphériques totaux (pg I-TEQ/m ² /j)
Bruit de fond urbain et industriel	0-5
Environnement impacté par des activités anthropiques	5-16
Proximité d'une source	> 16

Niveaux de PCDD/F dans les dépôts atmosphériques totaux (BRGM, 2011)

Typologie	PCDD/F dans les dépôts atmosphériques totaux (pg I-TEQ/m ² /j)	
	Moyenne	Médiane
Bruit de fond rural	1,7	1,6
Bruit de fond urbain	3	2
A plus de 500 m sous le vent de l'UIOM	2,8	2,1
Entre 100 et 500 m sous le vent de l'UIOM	3,6	3,3
A moins de 100 m sous le vent de l'UIOM	15,7	6,9

Niveaux de PCDD/F dans les dépôts atmosphériques totaux (INERIS, 2012)

De la même façon, il n'existe aucune norme et valeurs réglementaires sur les retombées en **métaux**. Le tableau suivant regroupe des valeurs typiques de retombées en chrome, manganèse, nickel, cuivre, arsenic, cadmium, plomb et mercure répertoriées par l'INERIS pour différents environnements.

⁵ Rapport d'étude n° DRC-13-136338-06193C de l'INERIS et du BRGM

Typologie	Métaux dans les dépôts atmosphériques totaux ($\mu\text{g}/\text{m}^2/\text{j}$)							
	Cr	Mn	Ni	Cu	As	Cd	Pb	Hg
Bruit de fond rural	2,5	43	3,2	11	0,9	0,4	7	0,1
Bruit de fond urbain	4,6	55	4,0	21	1,3	0,5	20	0,1
Zone impactée entre 500 et 1000 m de l'UIOM	2,1	35	5,0	31	1	0,3	5	0,3
Zone impactée entre 100 et 500 m de l'UIOM	2,8	32	3,2	40	1,4	0,3	11	0,4
Zone impactée à moins de 100 m de l'UIOM	29,5	291	25,9	23	2,8	2,8	217	0,5

Niveaux de métaux dans les dépôts atmosphériques totaux de référence (étude INERIS en France de 1991 à 2012)

Des valeurs de référence ont également été produites par ATMO Grand Est à partir des mesures effectuées par l'association de 2020 à 2023. Elles sont répertoriées dans les documents SURV-EN-1000_2⁶ (dioxines et furannes, concentrations en équivalent toxique et concentrations massiques) et SURV-EN-1114⁷ (métaux lourds).

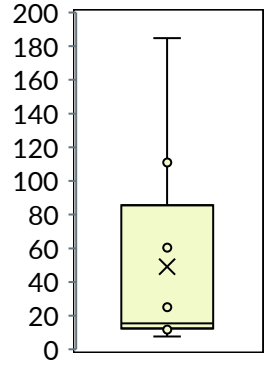
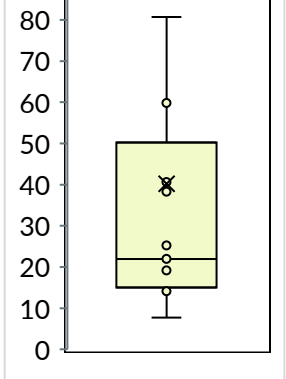
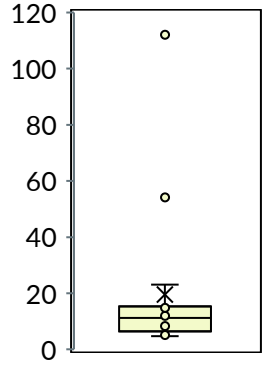
6 Surveillance des dioxines et furannes dans les retombées atmosphériques totales à proximité des incinérateurs par ATMO Grand Est Etat des lieux et statistiques – 2024

7 Surveillance des métaux lourds dans les retombées atmosphériques totales à proximité des incinérateurs par ATMO Grand Est Etat des lieux et statistiques – 2024

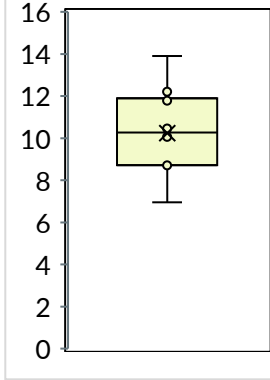
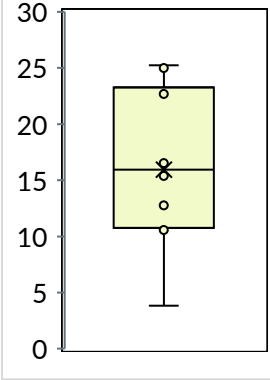
Influence de l'incinérateur	Impact maximal	Impact moyen	Impact faible
Nombre de données (moyennes annuelles et spatiales)	9	13	16
Années couvertes	2020 - 2023		
Nombre de départements couverts	2	4	4
Valeurs ubiquitaires (centile 10 - centile 90)	1,05 - 4,22	1,05 - 2,50	1,04 - 1,29
Centile 25	1,06	1,10	1,05
Moyenne	1,97	1,56	1,14
Médiane	1,15	1,24	1,06
Centile 75	1,70	2,28	1,09
Distribution statistique			

Influence/typologie	Témoin rural	Témoin urbain
Nombre de données (moyennes annuelles et spatiales)	10	10
Années couvertes	2020 - 2023	
Nombre de départements couverts	3	2
Valeurs ubiquitaires (centile 10 - centile 90)	1,02 - 1,06	1,00 - 1,09
Centile 25	1,04	1,03
Moyenne	1,05	1,05
Médiane	1,05	1,05
Centile 75	1,06	1,08
Distribution statistique		

Statistiques et valeurs ubiquitaires de concentrations en dioxines/furannes dans les retombées atmosphériques totales en total I-TEQ MAX

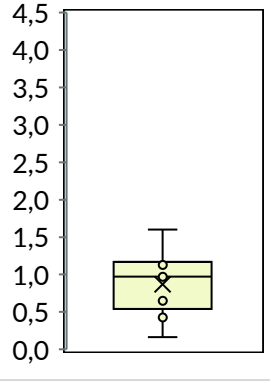
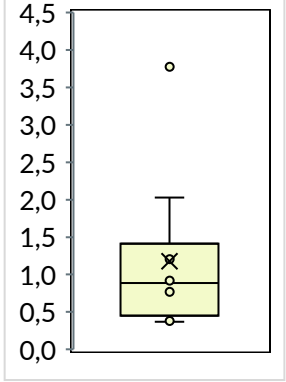
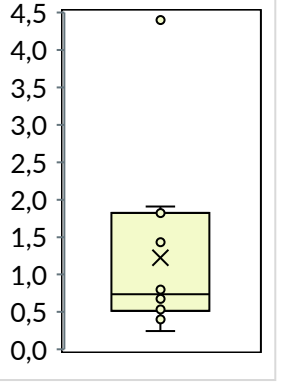
Influence de l'incinérateur	Impact maximal	Impact moyen	Impact faible
Nombre de données (moyennes annuelles et spatiales)	9	13	16
Années couvertes	2020 - 2023		
Nombre de départements couverts	2	4	4
Valeurs ubiquitaires (centile 10 - centile 90)	11 - 126	14 - 77	5 - 39
Centile 25	13	15	6
Moyenne	49	40	19
Médiane	15	22	11
Centile 75	60	41	15
Distribution statistique			

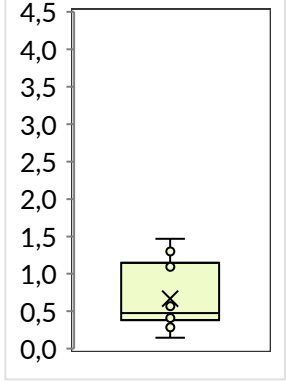
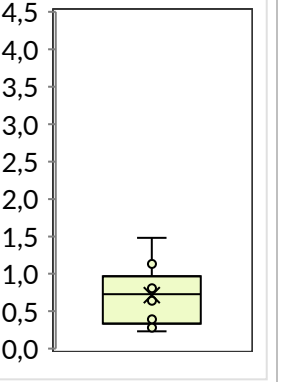
Concentrations massiques en dioxines/furannes (17 congénères les plus toxiques) dans les retombées atmosphériques totales en pg/m²/j

Influence/typologie	Témoin rural	Témoin urbain
Nombre de données (moyennes annuelles et spatiales)	10	10
Années couvertes	2020 - 2023	
Nombre de départements couverts	2	4
Valeurs ubiquitaires (centile 10 - centile 90)	9 - 12	10 - 25
Centile 25	9	11
Moyenne	10	16
Médiane	10	16
Centile 75	12	21
Distribution statistique		

Concentrations massiques en dioxines/furannes (17 congénères les plus toxiques) dans les retombées atmosphériques totales en pg/m²/j

Statistiques et valeurs ubiquitaires de concentrations en dioxines/furannes dans les retombées atmosphériques totales en concentrations massiques (sommes des 17 congénères mesurés)

Influence de l'incinérateur	Impact maximal	Impact moyen	Impact faible
Nombre de données (moyennes annuelles et spatiales)	9	10	14
Années couvertes	2020 - 2023		
Nombre de départements couverts	2	3	3
Valeurs ubiquitaires (centile 10 - centile 90)	0,4 - 1,3	0,4 - 2,2	0,4 - 1,9
Centile 25	0,6	0,5	0,5
Moyenne	0,9	1,2	1,2
Médiane	1,0	0,9	0,7
Centile 75	1,1	1,2	1,7
Distribution statistique			
Concentrations en vanadium (V) dans les retombées atmosphériques totales en $\mu\text{g}/\text{m}^2/\text{j}$			

Influence/typologie	Témoin rural	Témoin urbain
Nombre de données (moyennes annuelles et spatiales)	10	9
Années couvertes	2020 - 2023	
Nombre de départements couverts	2	3
Valeurs ubiquitaires (centile 10 - centile 90)	0,3 - 1,3	0,3 - 1,2
Centile 25	0,4	0,4
Moyenne	0,7	0,7
Médiane	0,5	0,7
Centile 75	1,0	0,8
Distribution statistique		
Concentrations en vanadium (V) dans les retombées atmosphériques totales en $\mu\text{g}/\text{m}^2/\text{j}$		

Statistiques et valeurs ubiquitaires de concentrations en vanadium dans les retombées atmosphériques totales

Influence de l'incinérateur	Impact maximal	Impact moyen	Impact faible
Nombre de données (moyennes annuelles et spatiales)	9	10	14
Années couvertes	2020 - 2023		
Nombre de départements couverts	2	3	3
Valeurs ubiquitaires (centile 10 - centile 90)	0,3 - 2,4	0,5 - 2,8	0,4 - 1,9
Centile 25	0,8	0,9	0,5
Moyenne	1,3	1,5	1,0
Médiane	1,0	1,1	0,7
Centile 75	1,5	1,3	1,3
Distribution statistique			
Concentrations en chrome (Cr) dans les retombées atmosphériques totales en $\mu\text{g}/\text{m}^2/\text{j}$			

Influence/typologie	Témoin rural	Témoin urbain
Nombre de données (moyennes annuelles et spatiales)	10	9
Années couvertes	2020 - 2023	
Nombre de départements couverts	2	3
Valeurs ubiquitaires (centile 10 - centile 90)	0,3 - 2,4	0,4 - 1,6
Centile 25	0,4	0,7
Moyenne	1,1	1,0
Médiane	0,8	0,9
Centile 75	1,2	1,2
Distribution statistique		
Concentrations en chrome (Cr) dans les retombées atmosphériques totales en $\mu\text{g}/\text{m}^2/\text{j}$		

Statistiques et valeurs ubiquitaires de concentrations en chrome dans les retombées atmosphériques totales

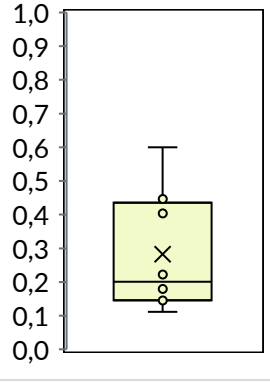
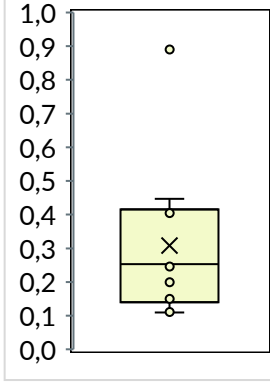
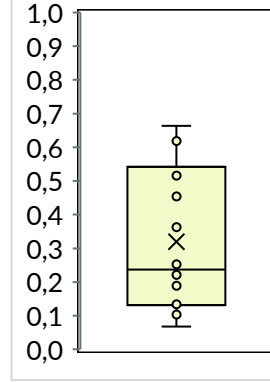
Influence de l'incinérateur	Impact maximal	Impact moyen	Impact faible
Nombre de données (moyennes annuelles et spatiales)	8	9	14
Années couvertes	2020 - 2023		
Nombre de départements couverts	2	3	3
Valeurs ubiquitaires (centile 10 - centile 90)	11 - 37	12 - 67	9 - 65
Centile 25	14	21	14
Moyenne	24	35	34
Médiane	23	25	24
Centile 75	31	42	56
Distribution statistique			

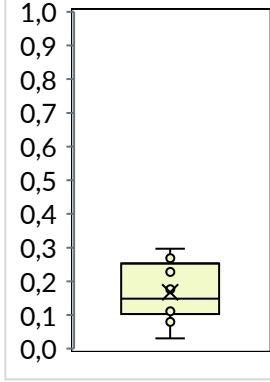
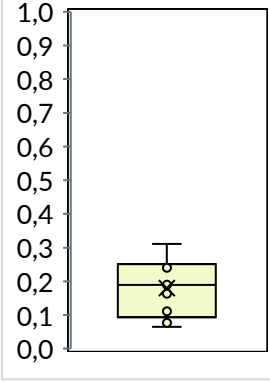
Concentrations en **manganèse (Mn)** dans les retombées atmosphériques totales en $\mu\text{g}/\text{m}^2/\text{j}$

Influence/typologie	Témoin rural	Témoin urbain
Nombre de données (moyennes annuelles et spatiales)	10	9
Années couvertes	2020 - 2023	
Nombre de départements couverts	2	3
Valeurs ubiquitaires (centile 10 - centile 90)	7 - 32	7 - 48
Centile 25	10	14
Moyenne	19	26
Médiane	18	22
Centile 75	25	36
Distribution statistique		

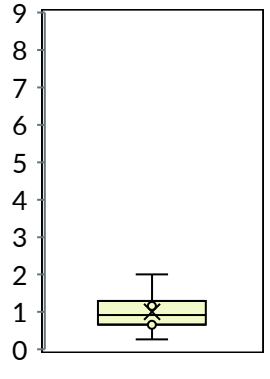
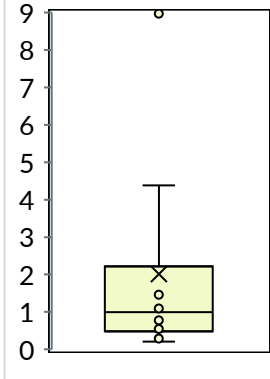
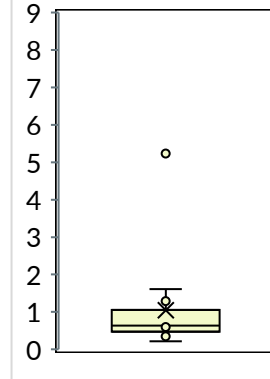
Concentrations en **manganèse (Mn)** dans les retombées atmosphériques totales en $\mu\text{g}/\text{m}^2/\text{j}$

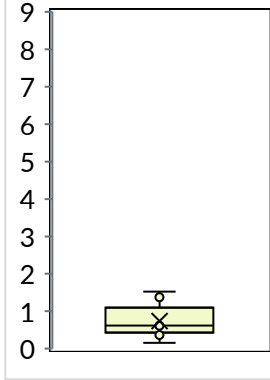
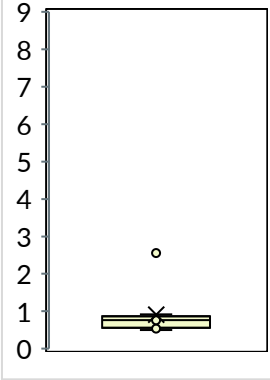
Statistiques et valeurs ubiquitaires de concentrations en manganèse dans les retombées atmosphériques totales

Influence de l'incinérateur	Impact maximal	Impact moyen	Impact faible
Nombre de données (moyennes annuelles et spatiales)	8	10	14
Années couvertes	2020 - 2023		
Nombre de départements couverts	2	3	3
Valeurs ubiquitaires (centile 10 - centile 90)	0,1 - 0,5	0,1 - 0,5	0,1 - 0,6
Centile 25	0,1	0,2	0,1
Moyenne	0,3	0,3	0,3
Médiane	0,2	0,3	0,2
Centile 75	0,4	0,4	0,5
Distribution statistique			
Concentrations en cobalt (Co) dans les retombées atmosphériques totales en $\mu\text{g}/\text{m}^2/\text{j}$			

Influence/typologie	Témoin rural	Témoin urbain
Nombre de données (moyennes annuelles et spatiales)	10	9
Années couvertes	2020 - 2023	
Nombre de départements couverts	2	3
Valeurs ubiquitaires (centile 10 - centile 90)	0,1 - 0,3	0,1 - 0,3
Centile 25	0,1	0,1
Moyenne	0,2	0,2
Médiane	0,1	0,2
Centile 75	0,2	0,2
Distribution statistique		
Concentrations en cobalt (Co) dans les retombées atmosphériques totales en $\mu\text{g}/\text{m}^2/\text{j}$		

Statistiques et valeurs ubiquitaires de concentrations en cobalt dans les retombées atmosphériques totales

Influence de l'incinérateur	Impact maximal	Impact moyen	Impact faible
Nombre de données (moyennes annuelles et spatiales)	8	10	13
Années couvertes	2020 - 2023		
Nombre de départements couverts	2	3	3
Valeurs ubiquitaires (centile 10 - centile 90)	0,5 - 1,5	0,3 - 4,8	0,4 - 1,6
Centile 25	0,7	0,6	0,5
Moyenne	1,0	2,0	1,0
Médiane	0,9	1,0	0,6
Centile 75	1,3	1,5	0,8
Distribution statistique			
Concentrations en nickel (Ni) dans les retombées atmosphériques totales en $\mu\text{g}/\text{m}^2/\text{j}$			

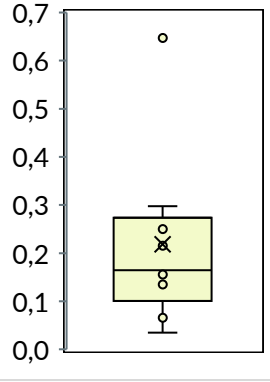
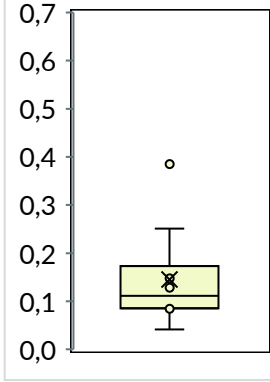
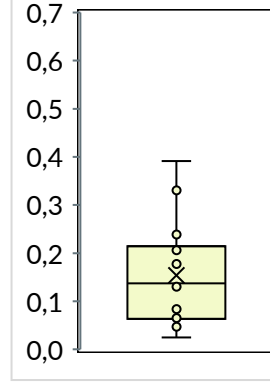
Influence/typologie	Témoin rural	Témoin urbain
Nombre de données (moyennes annuelles et spatiales)	9	9
Années couvertes	2020 - 2023	
Nombre de départements couverts	2	3
Valeurs ubiquitaires (centile 10 - centile 90)	0,3 - 1,4	0,5 - 1,2
Centile 25	0,5	0,6
Moyenne	0,7	0,9
Médiane	0,6	0,8
Centile 75	0,8	0,8
Distribution statistique		
Concentrations en nickel (Ni) dans les retombées atmosphériques totales en $\mu\text{g}/\text{m}^2/\text{j}$		

Statistiques et valeurs ubiquitaires de concentrations en nickel dans les retombées atmosphériques totales

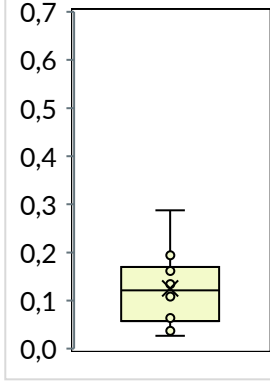
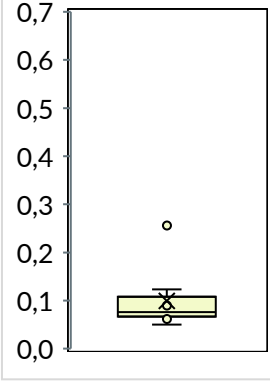
Influence de l'incinérateur	Impact maximal	Impact moyen	Impact faible
Nombre de données (moyennes annuelles et spatiales)	9	10	14
Années couvertes	2020 - 2023		
Nombre de départements couverts	2	3	3
Valeurs ubiquitaires (centile 10 - centile 90)	0,1 - 0,6	0,2 - 0,9	0,1 - 0,7
Centile 25	0,2	0,2	0,2
Moyenne	0,3	0,4	0,3
Médiane	0,3	0,3	0,3
Centile 75	0,4	0,4	0,5
Distribution statistique			
Concentrations en arsenic (As) dans les retombées atmosphériques totales en µg/m ² /j			

Influence/typologie	Témoin rural	Témoin urbain
Nombre de données (moyennes annuelles et spatiales)	10	9
Années couvertes	2020 - 2023	
Nombre de départements couverts	2	3
Valeurs ubiquitaires (centile 10 - centile 90)	0,1 - 0,3	0,1 - 0,4
Centile 25	0,1	0,1
Moyenne	0,2	0,2
Médiane	0,2	0,3
Centile 75	0,3	0,3
Distribution statistique		
Concentrations en arsenic (As) dans les retombées atmosphériques totales en µg/m ² /j		

Statistiques et valeurs ubiquitaires de concentrations en arsenic dans les retombées atmosphériques totales

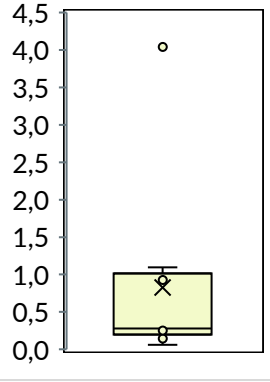
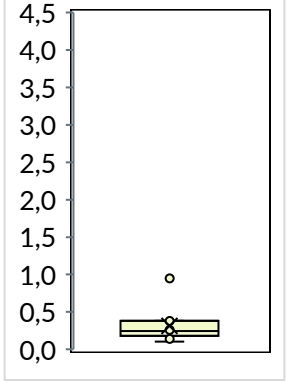
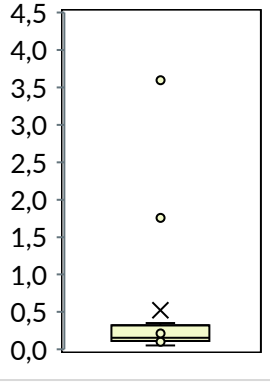
Influence de l'incinérateur	Impact maximal	Impact moyen	Impact faible
Nombre de données (moyennes annuelles et spatiales)	9	10	14
Années couvertes	2020 - 2023		
Nombre de départements couverts	2	3	3
Valeurs ubiquitaires (centile 10 - centile 90)	0,1 - 0,4	0,1 - 0,3	0,1 - 0,3
Centile 25	0,1	0,1	0,1
Moyenne	0,2	0,1	0,2
Médiane	0,2	0,1	0,1
Centile 75	0,3	0,1	0,2
Distribution statistique			

Concentrations en **cadmium (Cd)** dans les retombées atmosphériques totales en $\mu\text{g}/\text{m}^2/\text{j}$

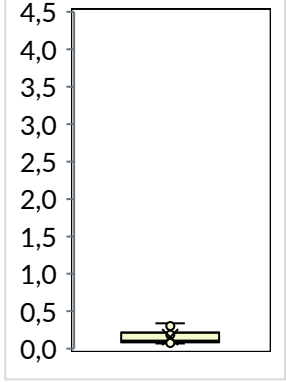
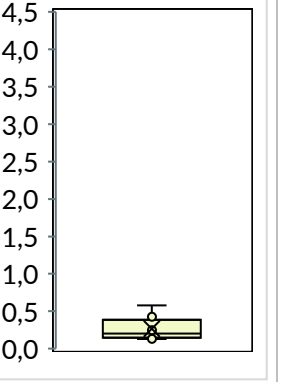
Influence/typologie	Témoin rural	Témoin urbain
Nombre de données (moyennes annuelles et spatiales)	10	9
Années couvertes	2020 - 2023	
Nombre de départements couverts	2	3
Valeurs ubiquitaires (centile 10 - centile 90)	0,0 - 0,2	0,1 - 0,1
Centile 25	0,1	0,1
Moyenne	0,1	0,1
Médiane	0,1	0,1
Centile 75	0,2	0,1
Distribution statistique		

Concentrations en **cadmium (Cd)** dans les retombées atmosphériques totales en $\mu\text{g}/\text{m}^2/\text{j}$

Statistiques et valeurs ubiquitaires de concentrations en cadmium dans les retombées atmosphériques totales

Influence de l'incinérateur	Impact maximal	Impact moyen	Impact faible
Nombre de données (moyennes annuelles et spatiales)	9	10	14
Années couvertes	2020 - 2023		
Nombre de départements couverts	2	3	3
Valeurs ubiquitaires (centile 10 - centile 90)	0,1 - 1,7	0,1 - 0,4	0,1 - 1,3
Centile 25	0,3	0,2	0,1
Moyenne	0,8	0,3	0,5
Médiane	0,3	0,2	0,2
Centile 75	0,9	0,4	0,3
Distribution statistique			

Concentrations en **antimoine (Sb)** dans les retombées atmosphériques totales en $\mu\text{g}/\text{m}^2/\text{j}$

Influence/typologie	Témoin rural	Témoin urbain
Nombre de données (moyennes annuelles et spatiales)	10	9
Années couvertes	2020 - 2023	
Nombre de départements couverts	2	3
Valeurs ubiquitaires (centile 10 - centile 90)	0,1 - 0,3	0,1 - 0,5
Centile 25	0,1	0,2
Moyenne	0,2	0,3
Médiane	0,1	0,2
Centile 75	0,2	0,3
Distribution statistique		

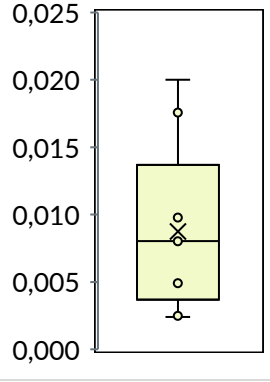
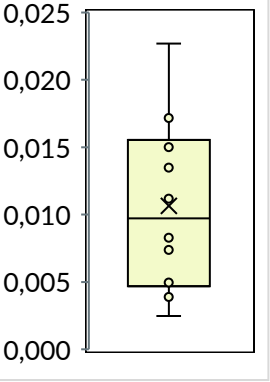
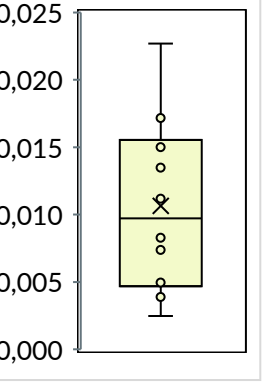
Concentrations en **antimoine (Sb)** dans les retombées atmosphériques totales en $\mu\text{g}/\text{m}^2/\text{j}$

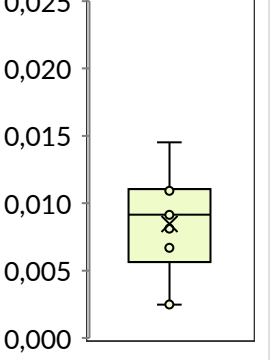
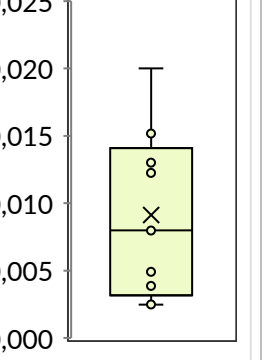
Statistiques et valeurs ubiquitaires de concentrations en antimoine dans les retombées atmosphériques totales

Influence de l'incinérateur	Impact maximal	Impact moyen	Impact faible
Nombre de données (moyennes annuelles et spatiales)	8	9	14
Années couvertes	2020 - 2023		
Nombre de départements couverts	2	3	3
Valeurs ubiquitaires (centile 10 - centile 90)	2,4 - 10,0	2,8 - 7,3	1,0 - 4,4
Centile 25	3,1	3,5	1,7
Moyenne	5,5	5,2	2,7
Médiane	3,7	4,6	2,3
Centile 75	8,5	4,9	3,7
Distribution statistique			

Influence/typologie	Témoin rural	Témoin urbain
Nombre de données (moyennes annuelles et spatiales)	10	9
Années couvertes	2020 - 2023	
Nombre de départements couverts	2	3
Valeurs ubiquitaires (centile 10 - centile 90)	0,7 - 6,1	2,2 - 5,7
Centile 25	1,0	3,0
Moyenne	2,6	3,6
Médiane	2,3	3,2
Centile 75	3,0	3,5
Distribution statistique		

Statistiques et valeurs ubiquitaires de concentrations en plomb dans les retombées atmosphériques totales

Influence de l'incinérateur	Impact maximal	Impact moyen	Impact faible
Nombre de données (moyennes annuelles et spatiales)	4	7	9
Années couvertes	2020 - 2023		
Nombre de départements couverts	2	3	3
Valeurs ubiquitaires (centile 10 - centile 90)	0,00 - 0,02	0,00 - 0,02	0,00 - 0,02
Centile 25	0,00	0,01	0,01
Moyenne	0,01	0,01	0,01
Médiane	0,01	0,01	0,01
Centile 75	0,01	0,01	0,01
Distribution statistique			
Concentrations en mercure (Hg) dans les retombées atmosphériques totales en $\mu\text{g}/\text{m}^2/\text{j}$			

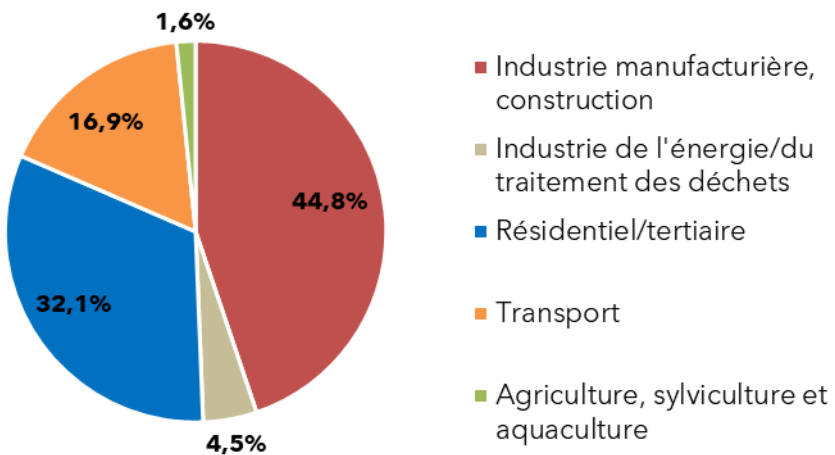
Influence/typologie	Témoin rural	Témoin urbain
Nombre de données (moyennes annuelles et spatiales)	10	9
Années couvertes	2020 - 2023	
Nombre de départements couverts	2	3
Valeurs ubiquitaires (centile 10 - centile 90)	0,00 - 0,01	0,00 - 0,02
Centile 25	0,01	0,00
Moyenne	0,01	0,01
Médiane	0,01	0,01
Centile 75	0,01	0,01
Distribution statistique		
Concentrations en mercure (Hg) dans les retombées atmosphériques totales en $\mu\text{g}/\text{m}^2/\text{j}$		

Statistiques et valeurs ubiquitaires de concentrations en mercure dans les retombées atmosphériques totales

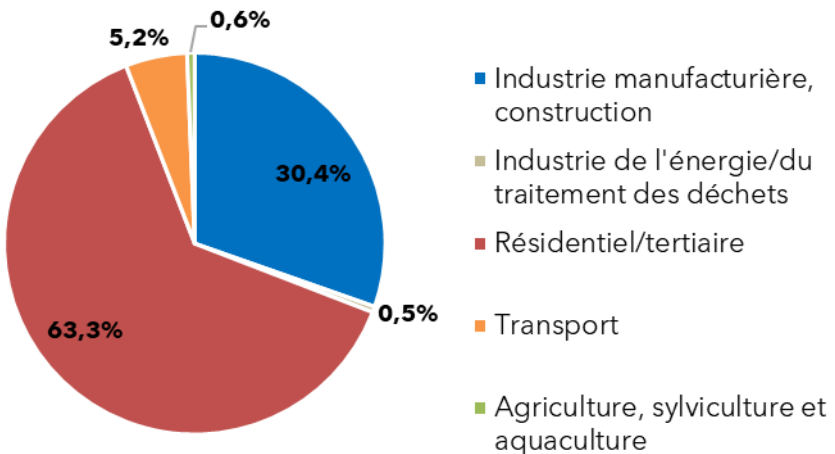
Annexe 3 : Emissions de l'année 2023 de la communauté de communes de Châlons-en-Champagne

Source : Observatoire Climat-Air-Energie (Invent'air v. 2025)

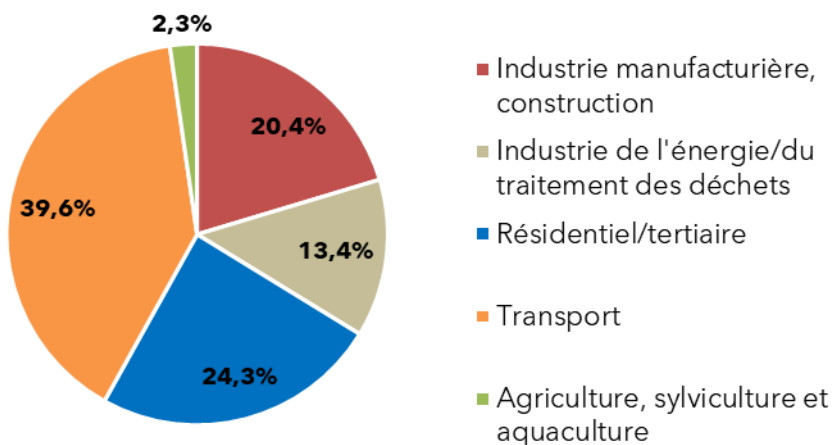
Emissions en dioxines/furannes dans la CC de Châlons-en-Champagne (2023)



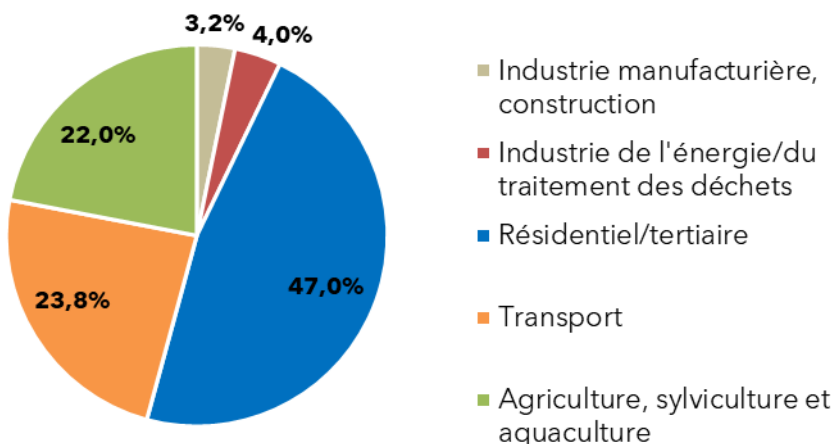
Emissions en vanadium (V) dans la CC de Châlons-en-Champagne (2023)



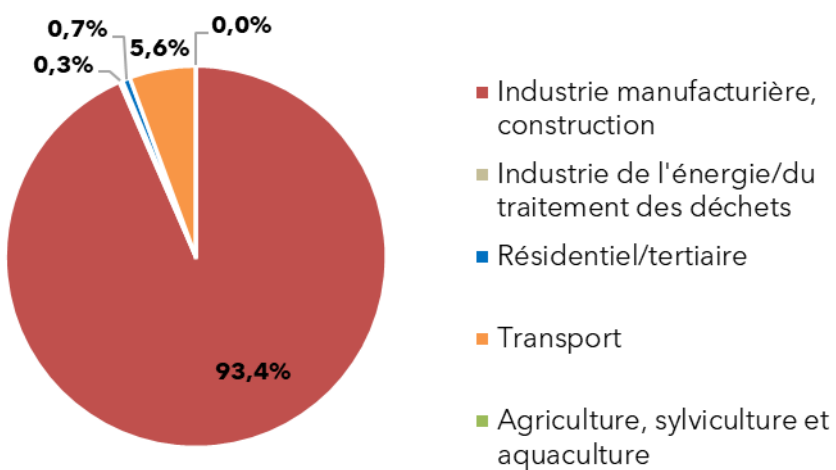
Emissions en chrome (Cr) dans la CC de Châlons-en-Champagne (2023)



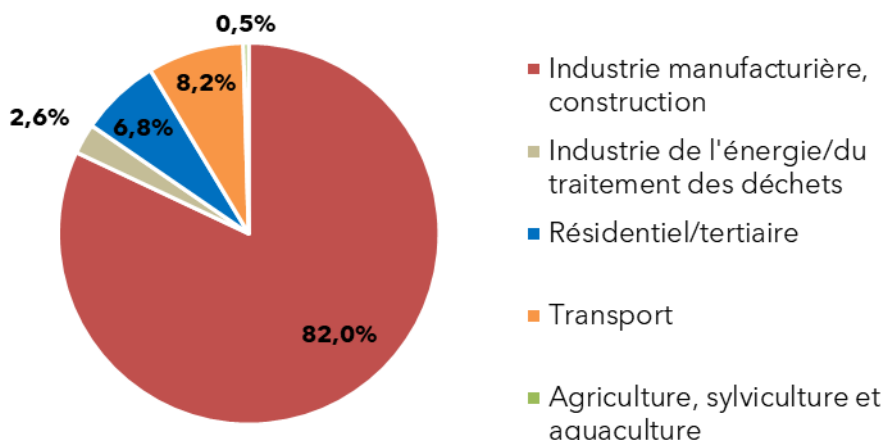
Emissions en manganèse (Mn) dans la CC de Châlons-en-Champagne (2023)



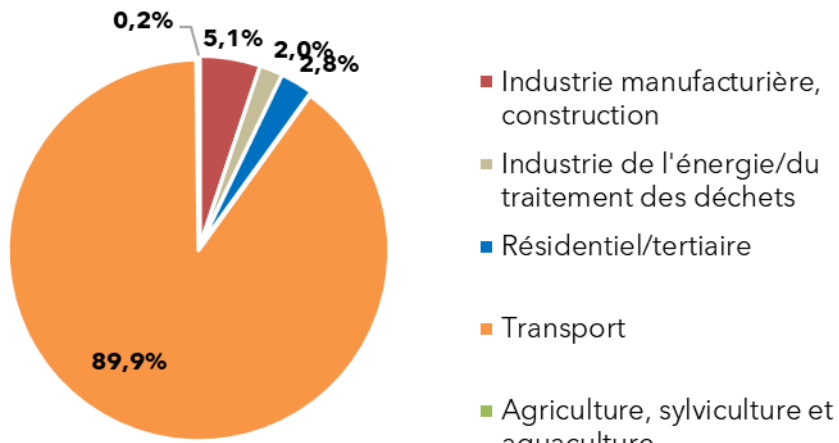
Emissions en cobalt (Co) dans la CC de Châlons-en-Champagne (2023)



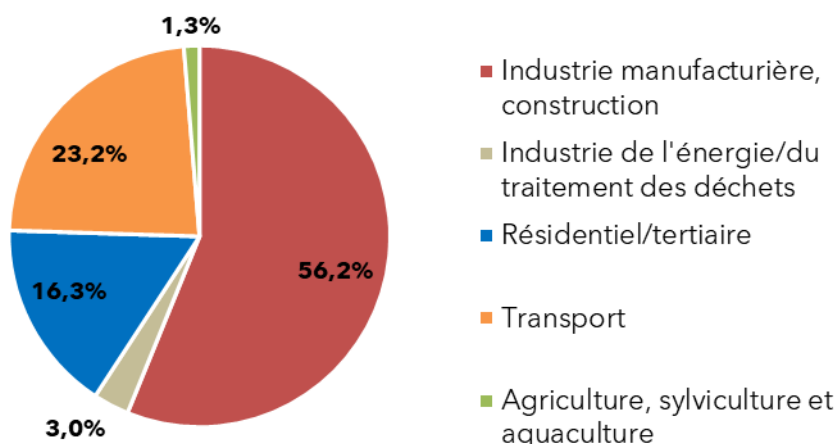
Emissions en nickel (Ni) dans la CC de Châlons-en-Champagne (2023)



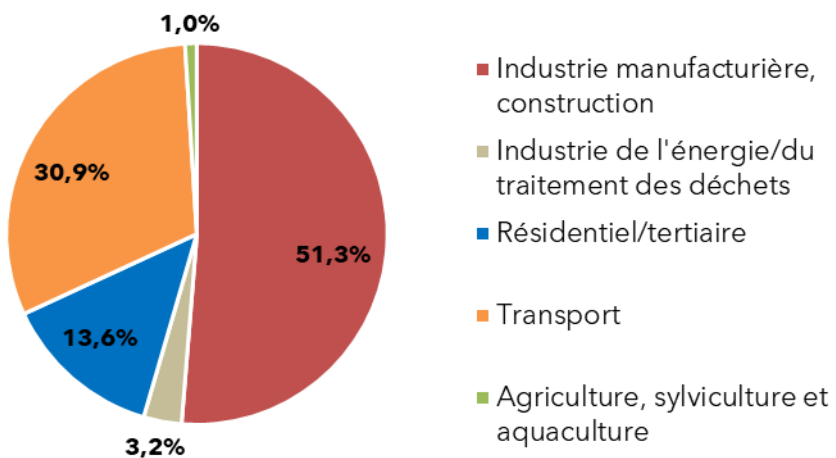
Emissions en cuivre (Cu) dans la CC de Châlons-en-Champagne (2023)



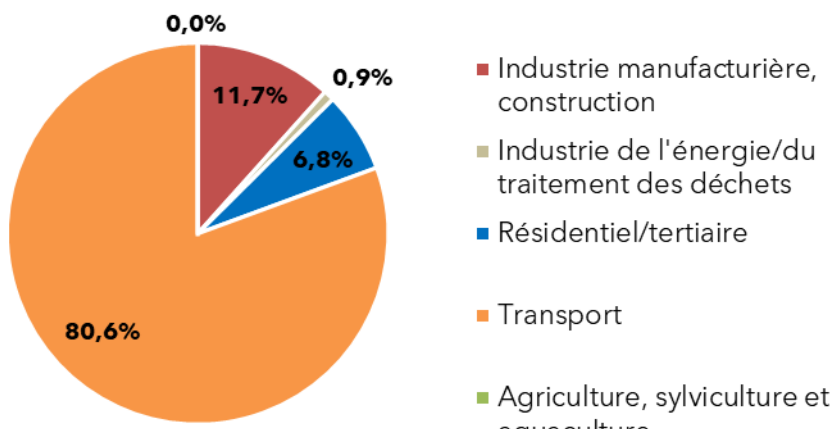
Emissions en arsenic (As) dans la CC de Châlons-en-Champagne (2023)



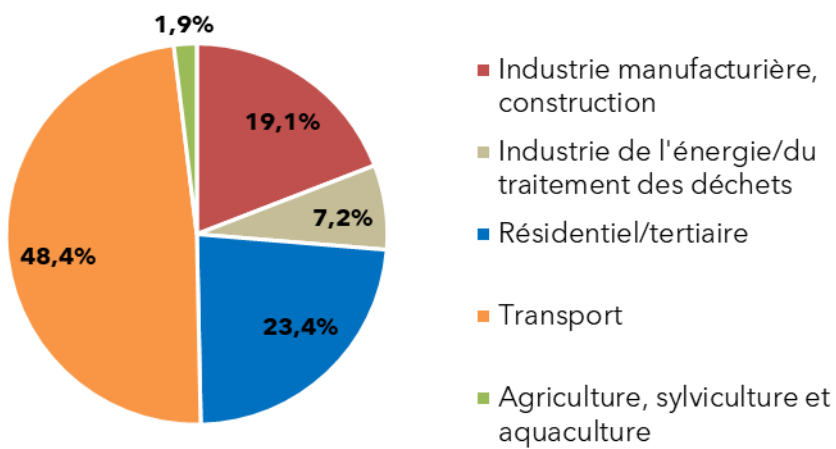
Emissions en cadmium (Cd) dans la CC de Châlons-en-Champagne (2023)



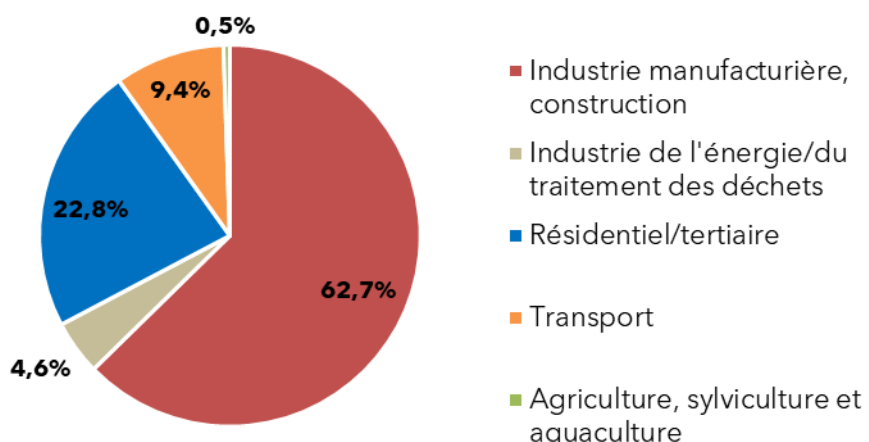
Emissions en antimoine (Sb) dans la CC de Châlons-en-Champagne (2023)



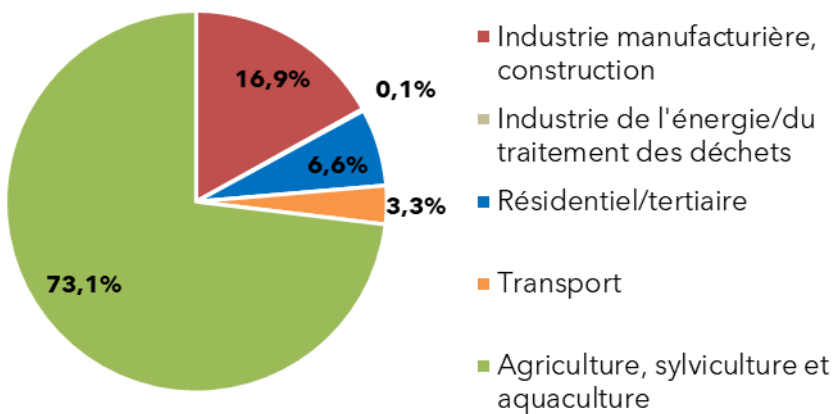
Emissions en plomb (Pb) dans la CC de Châlons-en-Champagne (2023)



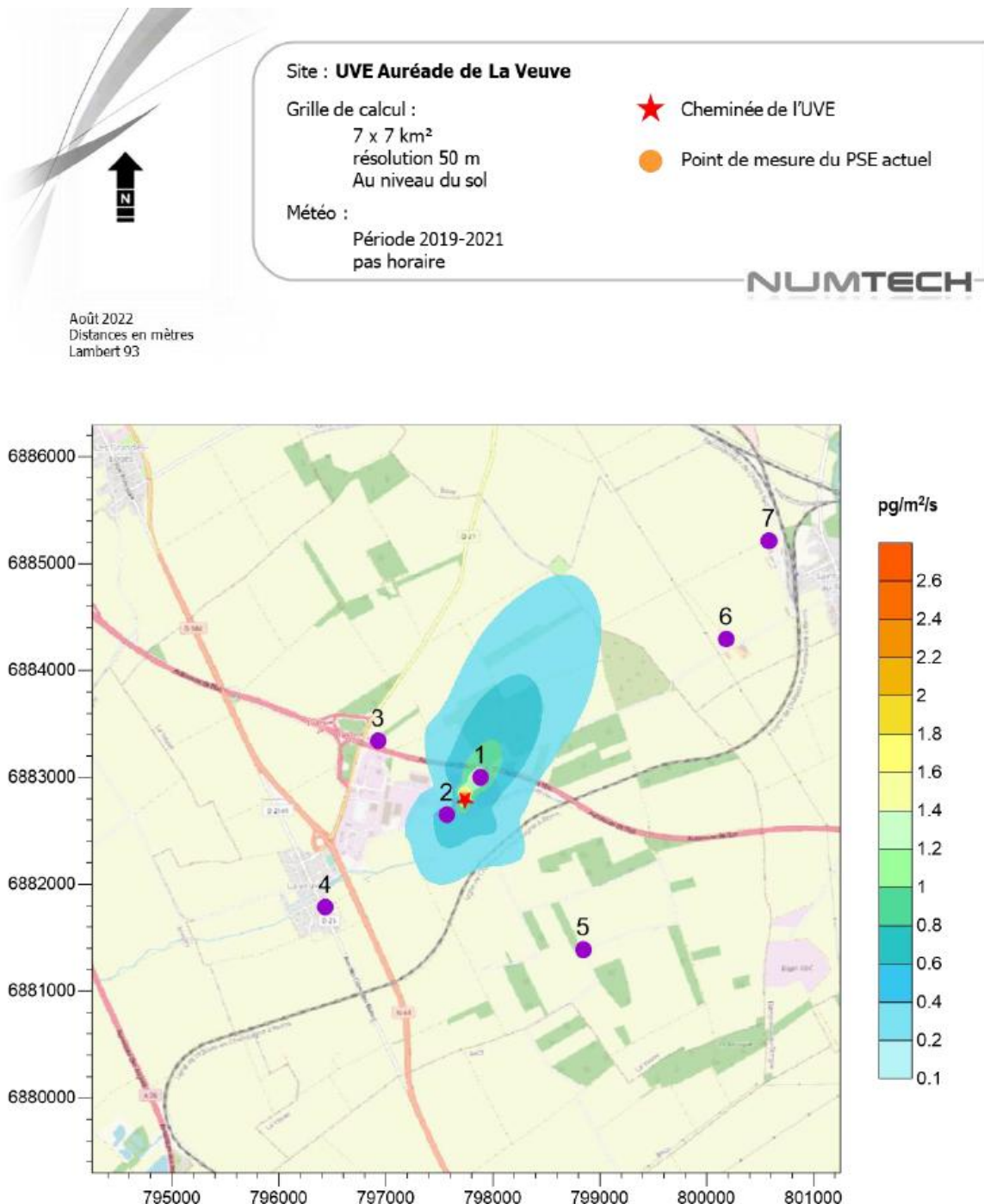
Emissions en mercure (Hg) dans la CC de Châlons-en-Champagne (2023)



Emissions en poussières totales dans la CC de Châlons-en-Champagne (2023)



Annexe 4 : Modélisation des émissions d'AUREADE (2022)



Modélisation des retombées issues des émissions de l'UVE (carte des retombées annuelles) en dioxines et furannes mis en parallèle avec les 7 premiers sites de mesures

Annexe 5 : Fiches de prélèvement

N° projet	900997	Partenaire	VEOLIA AUREADE		
Intitulé de l'étude	Suivi des dioxines, métaux lourds et poussières dans les retombées à proximité de AUREADE				
Zone d'étude	La Veuve et environs, Marne (51)				
Désignation site	1 - Devant AUREADE-D280				
Coordonnées emplacement	Lat. : 49,03949 Long. : 4,33904				
Environnement du site de prélèvement					
Photographie		Description			
		Situé à 90 m de l'A4 En face de l'installation Matériaux Enrobés de Champagne (MEC)			
Opérateur(s)	Guillaume MARTIN/Yannick LENGLET/Estelle PREVOST				
Matrice prélevée	Retombées atmosphériques totales				
Matériel	Jauge Owen (1 verre + 1 plastique)				
Polluants analysés en laboratoire	Dioxines/furannes, métaux lourds et poussières				
Date de début de prélèvement	19/08/2025				
Date de fin de prélèvement	16/09/2025				
Nombre de jours d'exposition	28				
Blanc de terrain	Pas sur ce site				
Observations					
	/				

N° projet	900997	Partenaire	VEOLIA AUREADE
Intitulé de l'étude	Suivi des dioxines, métaux lourds et poussières dans les retombées à proximité de AUREADE		
Zone d'étude	La Veuve et environs, Marne (51)		
Désignation site	2 - Chemin derrière AUREADE		
Coordonnées emplacement	Lat. : 49,03631 Long. : 4,33323		
Environnement du site de prélèvement			
Photographie		Description	
			A côté de champs En face de l'usine AUREADE
Opérateur(s)	Guillaume MARTIN/Yannick LENGLET/Estelle PREVOST		
Matrice prélevée	Retombées atmosphériques totales		
Matériel	Jauge Owen (1 verre + 1 plastique)		
Polluants analysés en laboratoire	Dioxines/furannes, métaux lourds et poussières		
Date de début de prélèvement	19/08/2025		
Date de fin de prélèvement	16/09/2025		
Nombre de jours d'exposition	28		
Blanc de terrain	Pas sur ce site		
Observations	/		

N° projet	900997	Partenaire	VEOLIA AUREADE		
Intitulé de l'étude	Suivi des dioxines, métaux lourds et poussières dans les retombées à proximité de AUREADE				
Zone d'étude	La Veuve et environs, Marne (51)				
Désignation site	3 - Autoroute				
Coordonnées emplacement	Lat. : 49,04229 Long. : 4,32567				
Environnement du site de prélèvement					
Photographie		Description			
		Situé à côté de champs A 20 m de l'A4			
Opérateur(s)	Guillaume MARTIN/Yannick LENGLET/Estelle PREVOST				
Matrice prélevée	Retombées atmosphériques totales				
Matériel	Jauge Owen (1 verre + 1 plastique)				
Polluants analysés en laboratoire	Dioxines/furannes, métaux lourds et poussières				
Date de début de prélèvement	19/08/2025				
Date de fin de prélèvement	16/09/2025				
Nombre de jours d'exposition	28				
Blanc de terrain	Pas sur ce site				
Observations					
	/				

N° projet	900997	Partenaire	VEOLIA AUREADE		
Intitulé de l'étude	Suivi des dioxines, métaux lourds et poussières dans les retombées à proximité de AUREADE				
Zone d'étude	La Veuve et environs, Marne (51)				
Désignation site	4 - La Veuve				
Coordonnées emplacement	Lat. : 49,02798 Long. : 4,31540				
Environnement du site de prélèvement					
Photographie		Description			
		Dans le village de La Veuve, à côté du cimetière			
Opérateur(s)	Guillaume MARTIN/Yannick LENGLET/Estelle PREVOST				
Matrice prélevée	Jauge Owen (1 verre + 1 plastique)				
Matériel	Dioxines/furannes, métaux lourds et poussières				
Polluants analysés en laboratoire	19/08/2025				
Date de début de prélèvement	16/09/2025				
Date de fin de prélèvement	28				
Nombre de jours d'exposition	Oui				
Blanc de terrain					
Observations					
	/				

N° projet	900997	Partenaire	VEOLIA AUREADE		
Intitulé de l'étude	Suivi des dioxines, métaux lourds et poussières dans les retombées à proximité de AUREADE				
Zone d'étude	La Veuve et environs, Marne (51)				
Désignation site	5 - Témoin				
Coordonnées emplacement	Lat. : 49,02474 Long. : 4,35163				
Environnement du site de prélèvement					
Photographie		Description			
		Situé au milieu de champs			
Opérateur(s)	Guillaume MARTIN/Yannick LENGLET/Estelle PREVOST				
Matrice prélevée	Retombées atmosphériques totales				
Matériel	Jauge Owen (1 verre + 1 plastique)				
Polluants analysés en laboratoire	Dioxines/furannes, métaux lourds et poussières				
Date de début de prélèvement	19/08/2025				
Date de fin de prélèvement	16/09/2025				
Nombre de jours d'exposition	28				
Blanc de terrain	Pas sur ce site				
Observations	/				

N° projet	900997	Partenaire	VEOLIA AUREADE					
Intitulé de l'étude	Suivi des dioxines, métaux lourds et poussières dans les retombées à proximité de AUREADE							
Zone d'étude	La Veuve et environs, Marne (51)							
Désignation site	6 - Champs							
Coordonnées emplacement	Lat. : 49,04892 Long. : 4,36791							
Environnement du site de prélèvement								
Photographie		Description						
		Situé à côté de champs, près d'arbustes						
Opérateur(s)	Guillaume MARTIN/Yannick LENGLET/Estelle PREVOST							
Matrice prélevée	Retombées atmosphériques totales							
Matériel	Jauge Owen (1 verre + 1 plastique)							
Polluants analysés en laboratoire	Dioxines/furannes, métaux lourds et poussières							
Date de début de prélèvement	19/08/2025							
Date de fin de prélèvement	16/09/2025							
Nombre de jours d'exposition	28							
Blanc de terrain	Pas sur ce site							
Observations								
/								

N° projet	900997	Partenaire	VEOLIA AUREADE		
Intitulé de l'étude	Suivi des dioxines, métaux lourds et poussières dans les retombées à proximité de AUREADE				
Zone d'étude	La Veuve et environs, Marne (51)				
Désignation site	7 - SNCF				
Coordonnées emplacement	Lat. : 49,05905 Long. : 4,37783				
Environnement du site de prélèvement					
Photographie		Description			
		Situé à côté de champs, près d'arbustes et d'une voie ferrée			
Opérateur(s)	Guillaume MARTIN/Yannick LENGLET/Estelle PREVOST				
Matrice prélevée	Retombées atmosphériques totales				
Matériel	Jauge Owen (1 verre + 1 plastique)				
Polluants analysés en laboratoire	Dioxines/furannes, métaux lourds et poussières				
Date de début de prélèvement	19/08/2025				
Date de fin de prélèvement	16/09/2025				
Nombre de jours d'exposition	28				
Blanc de terrain	Pas sur ce site				
Observations	/				

N° projet	900997	Partenaire	VEOLIA AUREADE
Intitulé de l'étude	Suivi des dioxines, métaux lourds et poussières dans les retombées à proximité de AUREADE		
Zone d'étude	La Veuve et environs, Marne (51)		
Désignation site	8 - Cabane		
Coordonnées emplacement	Lat. : 49,04791 Long. : 4,34855		
Environnement du site de prélèvement			
Photographie	Description		
	Situé à côté de champs		
Opérateur(s)	Guillaume MARTIN/Yannick LENGLET/Estelle PREVOST		
Matrice prélevée	Retombées atmosphériques totales		
Matériel	Jauge Owen (1 verre + 1 plastique)		
Polluants analysés en laboratoire	Dioxines/furannes, métaux lourds et poussières		
Date de début de prélèvement	19/08/2025		
Date de fin de prélèvement	16/09/2025		
Nombre de jours d'exposition	28		
Blanc de terrain	Pas sur ce site		
Observations	/		

N° projet	900997	Partenaire	VEOLIA AUREADE
Intitulé de l'étude	Suivi des dioxines, métaux lourds et poussières dans les retombées à proximité de AUREADE		
Zone d'étude	La Veuve et environs, Marne (51)		
Désignation site	9 - Dépôt		
Coordonnées emplacement	Lat. : 49,05604 Long. : 4,34936		
Environnement du site de prélèvement			
Photographie			
	Situé à côté de champs		
Opérateur(s)	Guillaume MARTIN/Yannick LENGLET/Estelle PREVOST		
Matrice prélevée	Retombées atmosphériques totales		
Matériel	Jauge Owen (1 verre + 1 plastique)		
Polluants analysés en laboratoire	Dioxines/furannes, métaux lourds et poussières		
Date de début de prélèvement	19/08/2025		
Date de fin de prélèvement	16/09/2025		
Nombre de jours d'exposition	28		
Blanc de terrain	Pas sur ce site		
Observations	/		

Annexe 6 : Méthodes de prélèvement et d'analyse

Matrice	Polluants	Méthode analytique	Normes de prélèvement et d'analyse	Laboratoire d'analyse
Retombées atmosphériques totales	Dioxines et furannes	Chromatographie en phase gazeuse et spectrométrie de masse haute résolution	NF X 43-014 - Air ambiant - Détermination des retombées atmosphériques totales - Échantillonnage - Préparation des échantillons avant analyses	Micropolluants Technologies
	Métaux lourds (V, Cr, Mn, Co, Ni, Cu, As, Cd, Sb, Pb et Hg)	Couplage plasma à induction et spectrométrie de masse	NF EN 15841 - Qualité de l'air ambiant - Méthode normalisée pour la détermination des dépôts d'arsenic, de cadmium, de nickel et de plomb	

Annexe 7 : Résultats des mesures de dioxines/furannes détaillés

En bleu : résultats inférieurs à la limite de quantification (format < LQ)

Congénères de dioxines/furannes dans les retombées (unité : pg/échantillon)																		
Sites de prélèvements	2,3,7,8 TCDD	1,2,3,7 ,8 PeCD D	1,2,3,4 ,7,8 HxCDD	1,2,3,6 ,7,8 HxCDD	1,2,3,7 ,8,9 HxCDD	1,2,3,4 ,6,7,8 HpCDD	OCDD	2,3,7,8 TCDF	1,2,3,7 ,8 PeCD F	2,3,4,7 ,8 PeCD F	1,2,3,4 ,7,8 HxCDF	1,2,3,6 ,7,8 HxCDF	2,3,4,6 ,7,8 HxCDF	1,2,3,7 ,8,9 HxCDF	1,2,3,4 ,6,7,8 HpCDD	1,2,3,4 ,7,8,9 HpCDD	OCDF	
Site 1	0,125	0,250	0,250	0,250	0,250	4,759	23,35 9	0,125	0,635	0,250	0,250	0,250	0,250	0,250	1,864	0,500	2,039	
Site 2	0,125	0,250	0,250	0,250	0,250	2,434	15,04 9	0,125	0,250	0,250	0,250	0,250	0,250	0,250	0,250	0,500	0,500	1,249
Site 3	0,125	0,250	0,250	0,250	0,250	4,702	36,50 5	0,125	0,250	0,250	0,250	0,250	0,250	0,250	0,250	1,596	0,500	0,500
Site 4	0,125	0,250	0,250	0,250	0,250	3,986	25,54 5	0,125	0,250	0,250	0,250	0,250	0,250	0,250	0,250	1,315	0,500	2,020
Site 5	0,125	0,250	0,250	0,250	0,250	2,626	14,93 4	0,125	0,250	0,250	0,250	0,250	0,250	0,250	0,250	0,500	0,500	1,226
Site 6	0,125	0,250	0,250	0,250	0,250	2,694	17,26 7	0,125	0,250	0,250	0,250	0,250	0,250	0,250	0,250	0,500	0,500	2,114
Site 7	0,125	0,250	0,250	0,250	0,250	2,093	15,05 1	0,125	0,250	0,250	0,250	0,250	0,250	0,250	0,250	0,500	0,500	0,500
Site 8	0,125	0,250	0,250	0,250	0,250	2,018	14,49 3	0,125	0,250	0,250	0,250	0,250	0,250	0,250	0,250	0,500	0,500	1,544
Site 9	0,125	0,250	0,250	0,250	0,250	1,813	7,428	0,125	0,250	0,250	0,250	0,250	0,250	0,250	0,250	0,500	0,500	0,500



AIR • CLIMAT • ÉNERGIE • SANTÉ

NOTRE SIÈGE

5 rue de Madrid
67300 Schiltigheim
03 69 24 73 73
contact@atmo-grandest.eu

NOS AGENCES

à Metz
20 rue Pierre-Simon de Laplace
57070 Metz

à Nancy
20 allée de Longchamp
54600 Villers-lès-Nancy

à Reims
9 rue Marie-Marvingt
51100 Reims